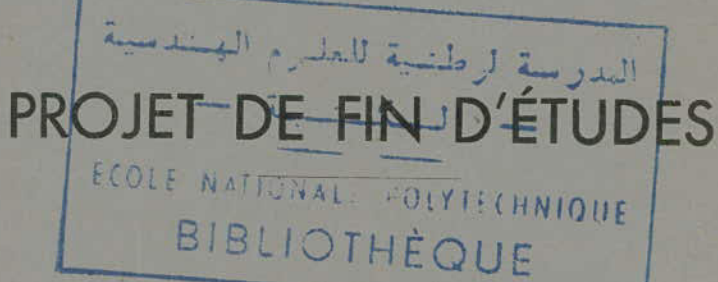


7/75

UNIVERSITÉ D'ALGER ELECTRONIQUE

ÉCOLE NATIONALE POLYTECHNIQUE

DÉPARTEMENT ÉLECTRICITÉ



26
avec
planche

SIMULATION MATHEMATIQUE SUR
ORDINATEUR DIGITAL D'UN
CONVERTISSEUR DE TRANSPORT H.V.D.C

Montage de deux ponts en cascade

المدرسة الوطنية للعلوم الهندسية

الكتبة

ECOLE NATIONALE POLYTECHNIQUE
BIBLIOTHEQUE

Proposé par :
Mr. V. STRIAPAN

Etudié par :
A. MOUGHARI

promotion 1975

TABLE DES MATIERES

	Pages
1. INTRODUCTION	
2. Etude théorique du pont dodécaphasé	1
-régime 4-5	
-régime 5	
-régime 5-6	
3. Simulation du système de deux ponts héxaphasés montés en série .	10
3.1 hypothèses	
3.2 topologie	
3.3 mise en équation	
3.3.1 notations	
3.3.2 schéma équivalent	
3.3.3 équations régissant le système	
3.3.4 choix des équations	
3.3.5 équations matricielles - inversions	
3.4 établissement de l'organigramme	39
3.4.1 bloc diagramme	
3.4.2 notations employées dans le programme	
3.5 exemple d'application de la méthode élaborée	49
-CONCLUSION	
-programme fortran IV	(annexe I)
-organigramme général	(annexe II)

INTRODUCTION

Groupement des unités de conversion

Il est commode de grouper par deux les unités hexasphasées de conversion; en les connectant en série sur le circuit à courant continu. Et en les associant du côté alternatif à des enroulements de transformateurs dont l'un est couplé en triangle et l'autre en étoile, ceci pour produire un déphasage de 30° entre les deux ponts hexasphasés.

Avec les deux unités en série, les commutations dans les deux ponts alternent tous les 30° électriques.

On obtient des tensions et des courants qui sont identiques aux tensions et aux courants du côté alternatif aussi bien que du côté continu d'un pont dodécaphasé.

Les deux ponts hexaphasés peuvent être alimentés par deux transformateurs distincts ou par deux secondaires, l'un en étoile et l'autre en triangle d'un même transformateur. Du côté alternatif les deux groupes se comportent comme deux ponts triphasés distincts branchés en parallèle sur le réseau.

Du côté continu les tensions redressées apparaissent comme mises en série entre le pôle positif et le pôle négatif de la tension redressée totale.

On peut dire que un groupe fonctionne sur les alternances positives et l'autre sur les alternances négatives.

-Groupement de plusieurs unités de conversion.

Pour les puissances très grandes, on est obligé de coupler en série plus de deux unités de conversion.

Si on veut un groupement de 4 unités, on doit réaliser des formes d'ondes équivalentes à 24 phases, pour cela il

faudra créer un déphasage de + ou - 15° au moyen d'un transformateur déphaseur ; Entre les tensions alternatives fournies à deux des groupes hexaphasés .

Cette solution est employé couramment pour les grosses installations d'electrolyse dont les puissances unitaires et les tensions d'alimentation sont relativement faibles . Cette solution serait couteuse dans le cas des transformateurs à tres haute tension , en outre la multiplication du nombre de phases risque de rendre plus delicat le fonctionnement des valves par suite d'interferences possibles entre les commutations dans les groupes hexaphasés voisins . En definitive , la tendance générale est de limiter à 12 le nombre de phases , même pour des puissances tres eleveés .

2- Etude théorique du pont dodécaphasé .

Le schéma équivalent d'un convertisseur étudié est représenté en figure 2.1 ;

On admet , outre les suppositions habituelles , que le rapport de transformation d'un transformateur Y/Y est égale à 1 ($W_2=W_1$) et le même rapport d'un transformateur Y/D est égale à 1,732 ($W_2 = 1,732W_1$) ce qui donne l'égalité des tensions secondaires des transformateurs . Les thyristors sont numérotés de façon que le numéro indique l'ordre d'amorçage des thyristors .

L'inductance de commutation pour une phase est égale à $X_Y = X_t + X_s$.

X_t : inductance de fuite du transformateur .

X_s : inductance du système d'alimentation .

On verra plus loin que le régime de fonctionnement d'un redresseur dépend du coefficient d'influence mutuelle (A) entre les ponts .

$$A = X_s / (X_t + X_s)$$

Selon le schéma équivalent on a pour les courants dans différentes parties du montage .

$$(I'_A - I'_B) / 1,732 = I_{a3} - I_{a9}$$

$$(I'_B - I'_C) / 1,732 = I_{a7} - I_{a1}$$

$$\text{et } I'_A + I'_B + I'_C = 0$$

en résolvant ce système avec

$$I_{a9} + I_{a1} + I_{a5} = I_{a3} + I_{a7} + I_{a11} \quad \text{on trouve :}$$

les courants dans les enroulements :

du premier transfo

$$I'_A = (I_{a3} - I_{a9} - I_{a11} - I_{a5}) / 1,732$$

$$I'_B = (I_{a7} - I_{a1} - I_{a3} + I_{a9}) / 1,732$$

$$I'_C = (I_{a11} - I_{a5} - I_{a7} + I_{a1}) / 1,732$$

du second transfo

$$I''_A = I_{a4} - I_{a10}$$

$$I''_B = I_{a8} - I_{a2}$$

$$I''_C = I_{a12} - I_{a6}$$

Les courants dans les phases du système

$$(\sqrt{3} = 1,732)$$

$$I_A = (I_{a3} - I_{a9} - I_{a11} + I_{a5}) / 1,732 + I_{a4} - I_{a10}$$

$$I_B = (I_{a7} - I_{a1} - I_{a3} + I_{a9}) / 1.732 \neq I_{a8} - I_{a2}$$

$$I_C = (I_{a11} - I_{a5} - I_{a7} + I_{a1}) / 1.732 \neq I_{a12} - I_{a6}$$

les formules donnant I_A' , I_A'' , I_A''' sont valables pour tous les régimes de fonctionnement du redresseur

parmi les différents régimes possibles les plus intéressants sont les régimes de charge normale et de surcharge modérée.

Ces régimes correspondent au fonctionnement du redresseur avec 4-5 et 5-6 soupapes conductantes comme régimes intermédiaires peuvent avoir lieu aussi les régimes à 5 ou à 6 soupapes

1/ régime à 4-5 soupapes

Dans ce régime l'angle de commutation gamma est inférieure à 30° sur un intervalle de répétition des processus électromagnétiques égale à 30° , il y a une étape sans commutation (4 soupapes laissent passer le courant) qui dure 30° moins gamma et une autre étape qui est l'étape de commutation elle a une durée de gamma et le courant passe par 5 soupapes.

L'ordre de fonctionnement des soupapes est le suivant :

1,2,3,4 → 1,2,3,4,5 → 2,3,4,5 → 2,3,4,5,6 → 3,4,5,6etc

Il faut souligner que dans ce régime une commutation dans un pont ne coïncide pas avec celle dans l'autre pont
Le régime envisagé commence à partir de la marche avide ($\gamma=0$) et dure jusqu'au courant de charge correspondant à ($\gamma=30^\circ$)
Nous allons étudier les processus dans le convertisseur en régime à 4-5

Supposons que la commutation s'effectue entre les soupapes 2 et 6 les soupapes conductantes sont 2,3,4,5,6.
Et nous pouvons écrire :

$I_{a3} = I_{a4} = I_{a5} = I_d$; $I_{a6} = i$; $I_{a2} = I_d - i$
 i : courant de commutation dans le circuit formé par les soupapes 2 et 6

en utilisant les équations (2) et (3) on obtient :

$$I_A'' = I_d$$

$$I_B'' = -(I_d - i)$$

$$I_C'' = -i$$

et $I_A = \frac{1}{2}(I_d + I_d)/1.732 + I_d$

$$I_B = -I_d/1.732 - (I_d - i)$$

$$I_C = -I_d/1.732 - i$$

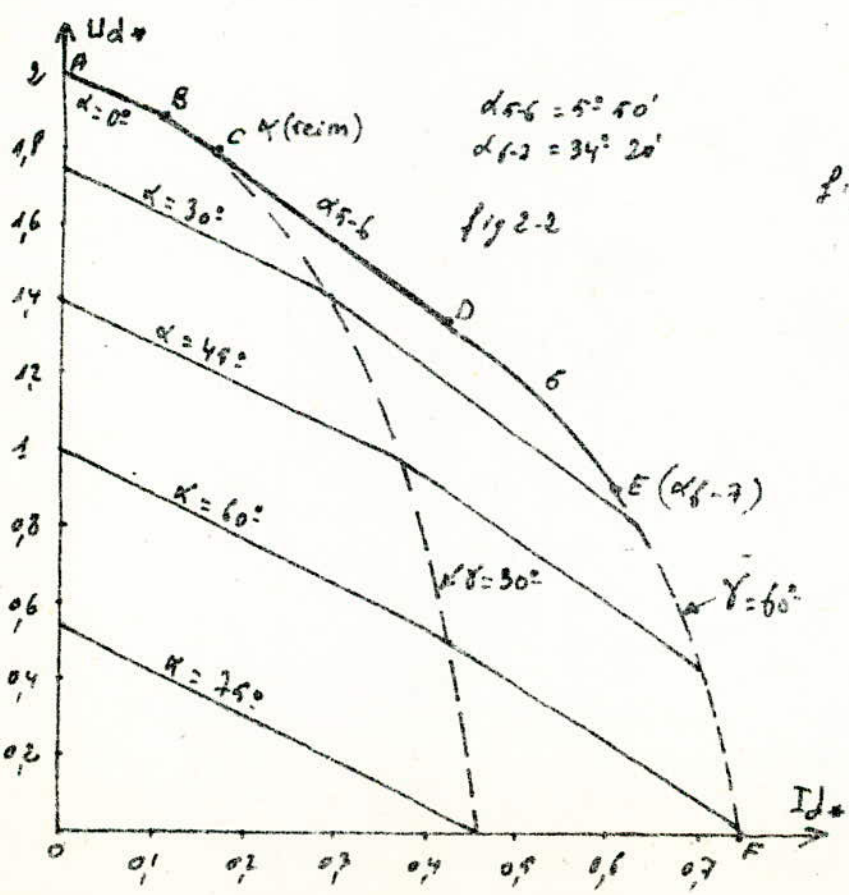
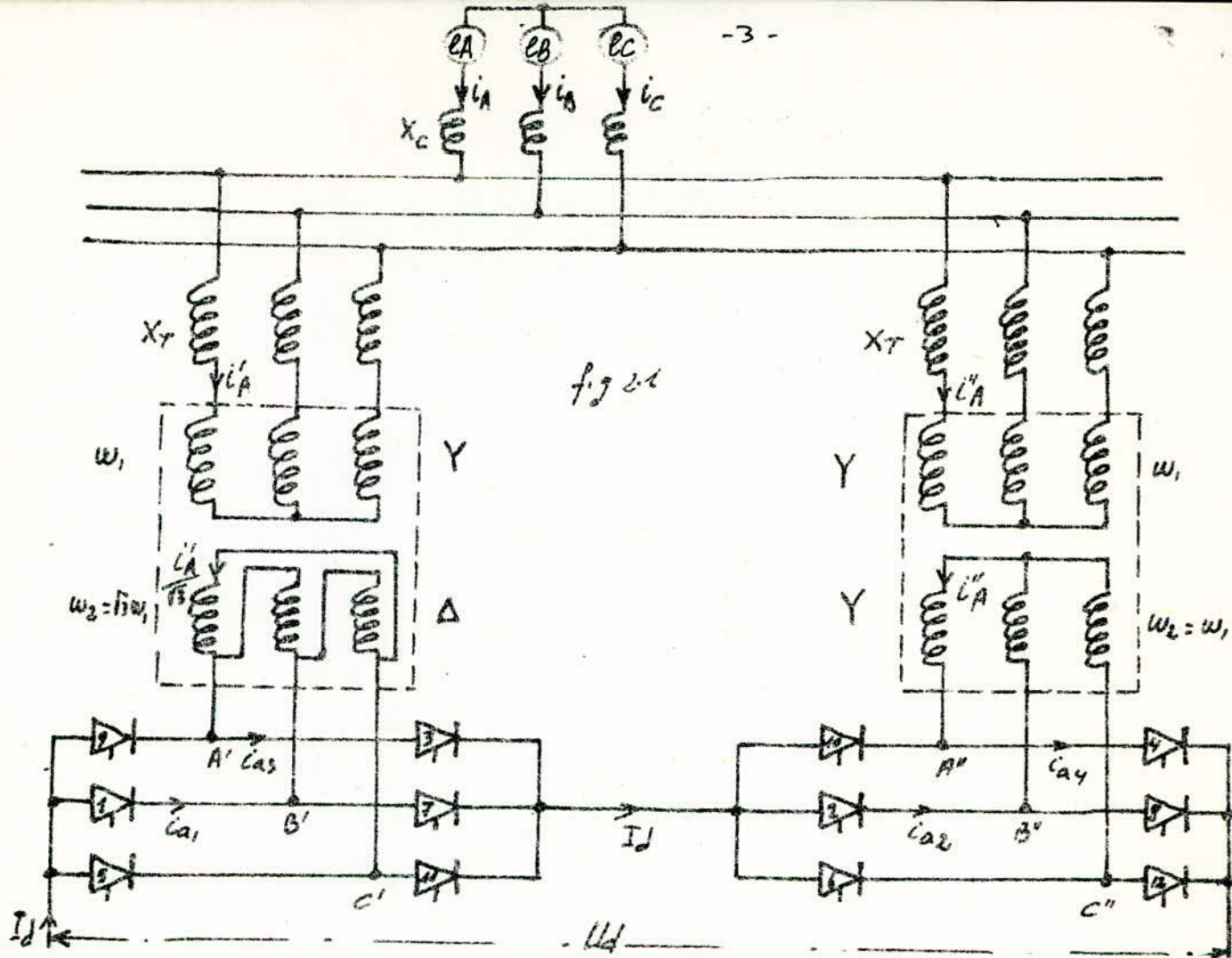
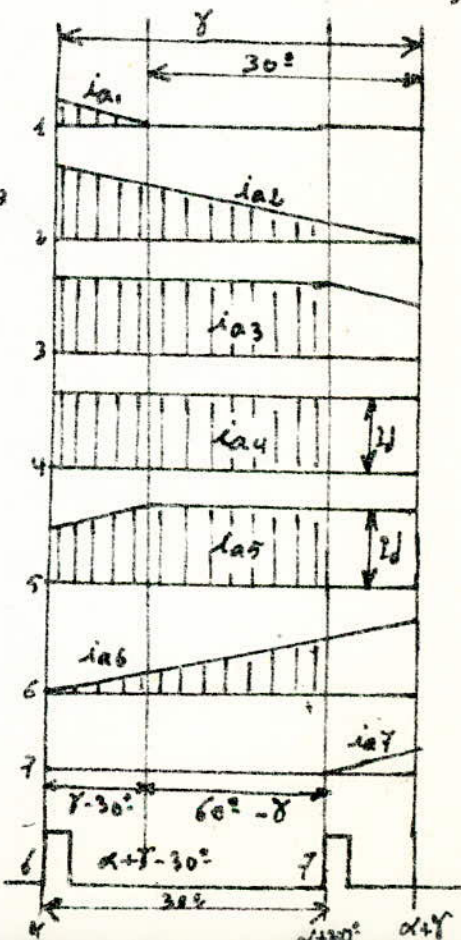


Fig 2.2



l'équation pour le circuit de commutation :

$$X_s \frac{dI_B}{d\theta} + X_t \frac{dI''}{d\theta} - X_t \frac{dI''}{d\theta} - X_s \frac{dI_c}{d\theta} = E_B - E_C$$

en tenant compte des expressions (4) on obtient

$$2(X_t + X_s) \frac{dI}{d\theta} = E_B - E_C \quad (5)$$

on voit que la dernière équation est analogue à une équation pour l'étape de commutation dans un redresseur à un pont de Graetz .

A partir de (5) on trouve une formule pour l'angle de commutation

$$\text{valeurs de base } U_b = 3(1,732)E_m / 3,14$$

$$I_b = E_m / X_c$$

E_m : valeur maximale de tension simple côté secondaire du transfo

$$\cos(\alpha + \gamma) = \cos \alpha - 2I_d^* / 1.732 \quad (6)$$

— valeur moyenne de tension redressée d'un redresseur peut être déterminée selon la formule :

$$U_d^* = 2(\cos \alpha + \cos(\alpha + \gamma)) = 2\cos(\alpha + \gamma/2)\cos\gamma/2$$

équation de la caractéristique externe :

$$U_d^* = 2(\cos \alpha - I_d^* / 1.732)$$

cette caractéristique est représentée sur la fig (2-2)

les caractéristiques sont représentées pour $\text{ALFA}=0^\circ ; 30^\circ ; 45^\circ ; 60^\circ ; 75^\circ$.

pour $\text{ALFA}=0^\circ$ le régime à 4-5 se termine au point B ($I_d=0,116$

et $U_d = 1,866$) l'angle de commutation atteint 30° .

pour les valeurs de ALFA différentes de 0° la frontière du

régime à 4-5 correspond à l'arc BCE avec $\text{ALFA}=\text{constante}=30^\circ$.

2/ Régime à 5 soupapes

ce régime est analogue au régime à 3 du convertisseur triphasé en pont de Graetz

toutes les équations pour le régime à 4-5 sont valables pour le

regime à 5 si on prend Gamma $\pm 30^\circ$.

l'angle de retard peut être déterminé à partir de (6)

$$\sin(\chi_r + 15^\circ) = I_d^* / 1,732 \cdot \sin 15^\circ \quad (7)$$

la valeur moyenne de la tension redressée est égale à :

$$U_d^* = 2 \cos 15^\circ \cos(\chi_r + 15^\circ) \quad (8)$$

les expressions (7) et (8) permettent de trouver une équation de la caractéristique externe :

$$(U_d^{*2} / 4 \cos^2 15^\circ) + (I_d^{*2} / 3 \sin^2 15^\circ) = 1 \quad (9)$$

selon l'expression (9) sur la fig 2-2 on a l'intervalle BC qui correspond au régime à 5 soupapes.

une limite du régime à 5 correspond à une charge I_d pour laquelle $\chi_r = \chi_{\text{lim}}$, pour trouver cet angle on peut utiliser une formule :

$$t_g \chi_{\text{lim}} = 1.732A/(4-3A)$$

d'après la formule (7) on obtient un courant limite

$$I_d^*_{\text{lim}} = 1.732 \sin 15^\circ \sin(\chi_{\text{lim}} + 15^\circ)$$

3/ Régime à 5-6 soupapes

le régime existe dans l'intervalle des charges quand l'angle de commutation compris entre 30° et 60°

sur la fig 2-3 les courbes des courants des soupapes ($I_{a1}; I_{a7}$) sont représentées.

l'intervalle de répétition des processus est égale à 30° , il contient deux étapes :

— étape de durée $\gamma - 30^\circ$ quand 6 soupapes (1; 2; 3; 4; 5; 6) conduisent.

— étape de durée $60^\circ - \gamma$ quand 5 soupapes (2; 3; 4; 5; 6) conduisent.

durant la première étape une commutation entre les soupapes 1 et 5 se termine; et l'autre entre 2 et 6 commence.

durant la seconde étape (5 soupapes en conduction) une commutation a lieu dans un pont seulement.

avec une augmentation de charge l'angle de commutation croît . respectivement cet angle augmente pour la première étape et elle diminue durant la seconde étape .
du à la limite du régime à 5-6 l'angle de commutation égale à 60° et pendant tout l'intervalle de répétition des processus a lieu l'étape de 6 soupapes conductantes .

Analisons le fonctionnement du convertisseur sur les deux étapes envisagées .

—Etape à 6 soupapes en conduction (1;2;3;4;5;6)

nous avons :

$$i_{a1} = Id - i_{a5}$$

$$i_{a2} = Id - i_{a6}$$

$$i_{a3} = Id = i_{a4}$$

Courants dans les transformateurs et dans les phases du système :

$$i_A' = (Id + i_{a5}) / 1.732$$

$$i_B' = (i_{a5} - 2Id) / 1.732 \quad (10)$$

$$i_C' = (Id - 2i_{a5}) / 1.732$$

$$i_A'' = Id$$

$$i_B'' = i_{a6} - Id \quad (11)$$

$$i_C'' = -i_{a6}$$

$$i_A = (1 + 1/1.732)Id + i_{a5} / 1.732$$

$$i_B = -(1 + 2/1.732)Id + i_{a5} / 1.732 + i_{a6} \quad (12)$$

$$i_C = Id / 1.732 - 2i_{a5} / 1.732 + i_{a6}$$

les équations pour les circuits en commutation (soupapes 1 et 5 en pont 1 et soupapes 2 et 6 en pont 2)
selon la fig 2-1
circuit formé par les soupapes 1 et 5

$$1,732(E_c - X_c \frac{di_c}{d\theta} - X_t \frac{di'_c}{d\theta}) = 0$$

en utilisant (10) et (12) on peut écrire :

$$2(X_t + X_c) \frac{di_{a5}}{d\theta} + 1,732 X_c \frac{di_{a6}}{d\theta} = -1,732 E_c$$

$$\text{ou } 2X_f \frac{di_{a5}}{d\theta} + 1,732 A X_f \frac{di_{a6}}{d\theta} = -1,732 E_c \quad (13)$$

pour le circuit formé par les soupapes 2 et 6 on a :

$$X_c \frac{di_B}{d\theta} + X_t \frac{di''_B}{d\theta} - X_t \frac{di''_c}{d\theta} - X_c \frac{di_c}{d\theta} = E_B - E_C$$

en tenant compte des formules (11) et (12) on écrit :

$$2X_f \frac{di_{a6}}{d\theta} + 1,732 A X_f \frac{di_{a5}}{d\theta} = E_B - E_C \quad (14)$$

en résolvant les équations (13) et (14) on trouve :

$$\frac{di_{a5}}{d\theta} \equiv -1,732 \frac{E_C + A/2 (E_B - E_C)}{(2 - 3/2 A^2) X_f}$$

$$\frac{di_{a6}}{d\theta} = - \frac{(E_B - E_C) + 3/2 A E_C}{(2 - 3/2 A^2) X_f}$$

si les fem d'alimentation sont représentées comme :

$$E_A = E_m \cos \theta ; E_B = E_m \cos(\theta - 120^\circ) ; E_C = E_m \cos(\theta + 120^\circ)$$

on en déduit :

$$\frac{di_{a5}}{d\theta} = \frac{(4-6A+3A^2)^{0,5}}{(4-3A^2) X_f} 1,732 E_m \sin(\theta + 30^\circ + \alpha_{rem})$$

$$\frac{di_{a6}}{d\theta} = \frac{(4-6A+3A^2)^{0,5}}{(4-3A^2) X_f} 1,732 E_m \sin(\theta - \alpha_{rem})$$

donc les courants de soupapes 5 et 6 sont égaux à :

$$i_{a5} = \frac{(4-6A+3A^2)^{0,5}}{(4-3A^2) XY} 1,732 \text{ Em} (C_1 - \cos(\alpha + 30^\circ + \alpha_{rem})) \quad (15)$$

$$i_{a6} = \frac{(4-6A+3A^2)^{0,5}}{(4-3A^2) XY} 1,732 \text{ Em} (C_2 - \cos(\theta - \alpha_{rem})) \quad (16)$$

ces expressions sont valables pour l'etape

$$\alpha < \theta < \alpha + \gamma - 30^\circ$$

pour la deuxieme etape $\alpha + \gamma - 30^\circ < \theta < \alpha + 30^\circ$ quand 5 soupapes

(2-3-4-5-6) conduisent le courant , l'expression (5) est valable avec $i = i_{a6}$; donc nous pouvons ecrire :

$$i_{a6} = \frac{1,732 \text{ Em}}{2XY} (C_3 - \cos\theta) \quad (17)$$

les constantes d'integration C_1 , C_2 , C_3 et l'angle de commutation se trouvent en tenant compte des conditions suivantes (fig 2-3)

1- $i_{a6} = 0$ pour $\theta = \alpha$

2- $i_{a5} = Id$ pour $\theta = \alpha + \gamma - 30^\circ$

3- pour $\theta = \alpha + \gamma - 30^\circ$ $\gamma \neq$ i_{a6} determiné par (16) est égale à i_{a6} determiné à partir de (17) .

4- i_{a6} pour $\theta = \alpha + 30^\circ$ est égale à i_{a5} pour $\theta = \alpha$.

la condition 4 permet d'établir une formule pour γ en régime à 5-6

$$\cos(\alpha + \alpha_{rem} + \gamma) = \cos(\alpha - \alpha_{rem}) - \frac{2(2+1,732A)}{1,732(4-6A+3A^2)^{0,5}} Id^* \quad (18)$$

valeur moyenne de la tension redressée :

$$U_d^* = \frac{(4-6A+3A^2)^{0,5}}{2-1,732A} (\cos(\alpha - \alpha_{5,6}) + \cos(\alpha + \alpha_{5,6} + \gamma)) \quad (19)$$

a partir de (18) et (19) on determine l'expression de la caractéristique externe :

$$U_d^* = \frac{2}{2-1,732\Lambda} ((4-6\Lambda+3\Lambda^2)^{0,5} \cos(\alpha - \alpha_{cerm}) - \frac{2+1,732\Lambda}{1,732} I_d^*)$$

les caractéristiques construites selon cet expression sont représentées sur la figure (2-2) ; elles se situent entre l'arc CE ($\gamma = 30^\circ$) et l'arc DEF ($\gamma = 60^\circ$) .

3. SIMULATION MATHEMATIQUE

Notre etude consiste en la mise en equations du fonctionnement du pont dodecaphasé; et l'établissement d'un programme pour la résolution de ces équations sur ordinateur .
On suppose connu l'étude d'un pont triphasé ainsi que les résultats. (voir projet de RILLI et MOULFI année 74)

L'idée principale de étude est la suivante :

on travaille en régime linéaire, on prend deux ponts triphasés et on applique le principe de superposition.

3.1 Hypotheses :

- le système de tensions triphasées est symétrique.
 - le déphasage entre les deux ponts est de 30° = Cste.
 - les circuits magnétiques ne sont pas saturés.
 - les courants magnétisants du transformateurs sont négligeables.
 - les thyristors sont idéaux: impedance nulle dans le sens direct et infinie dans le sens inverse.
 - le système de commande est ideal.
 - les angles alfa1 et alfa2 sont constants.

3.2 Systèmes de numérotation :

on numerote les 12 thyristors de 1 à 12 ; dans une periode
 on a 12 intervalles . dans chaque intervalle on a un
 thyristor qui conduit . (voir figure 3-1)
 on prend le systeme de numerotation des operations suivant :
 $1+12m$, $2+12m$, $3+12m$ $\dots 12+12m$.
 exemple :
 le thyristor T1 est conducteur dans les operations $1, 13, 25\dots$
 le thyristor T2 est conducteur dans les operations $2, 14, 26 \dots$
 m : entier positif ou nul .

le pont 2 sera alimenté par un transformateur Y/Y et le pont 1 sera alimenté par un transformateur Y/D ceci pour avoir un déphasage de 30° entre les deux ponts. Le système de tensions alternatives dans le pont 2 est en avance de 30° sur le pont 1. (voir fig 3-2)

-différents cycles de fonctionnement :

pour un pont triphasé on a les régimes suivants :

-regime à 4 thyristors qui commutent en même temps .

-regime à 3 thyristors qui commutent en même temps .

-regime à 2 thyristors .

le pont dodecaphasé étant équivalent à deux ponts triphasés par conséquent un régime du pont dodecaphasé est équivalent à la somme de deux régimes du pont triphasé .
on en déduit les régimes suivants :

pont: (P) regime: (R)

$$P-1, R-4 + P-2, R-4 = R-8$$

$$P-1, R-4 + P-2, R-3 = R-7$$

$$P-1, R-4 + P-2, R-2 = R-6$$

$$P-1, R-3 + P-2, R-4 = R-7$$

$$P-1, R-3 + P-2, R-3 = R-6$$

$$P-1, R-3 + P-2, R-2 = R-5$$

$$P-1, R-2 + P-2, R-4 = R-6$$

$$P-1, R-2 + P-2, R-3 = R-5$$

$$P-1, R-2 + P-2, R-2 = R-4$$

du point de vue pont dodecaphasé on a 5 régimes différents.

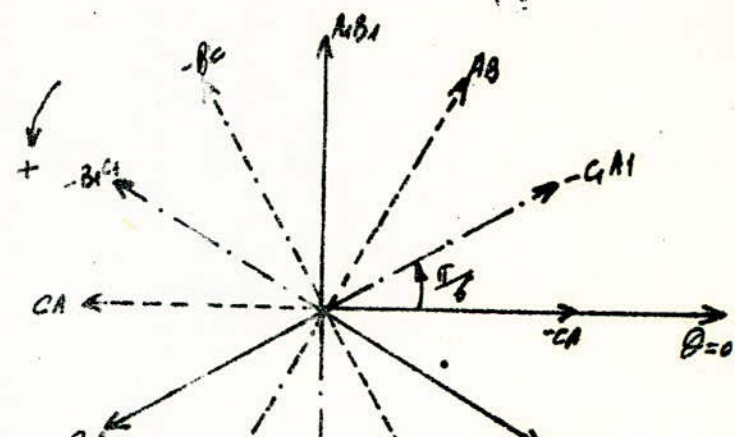
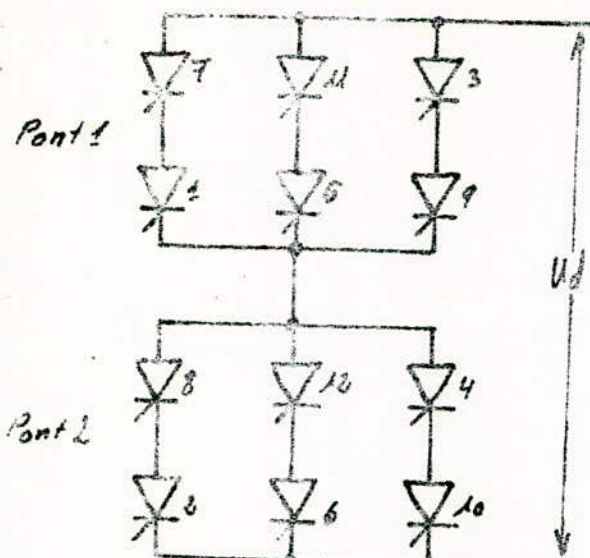


fig 3-2

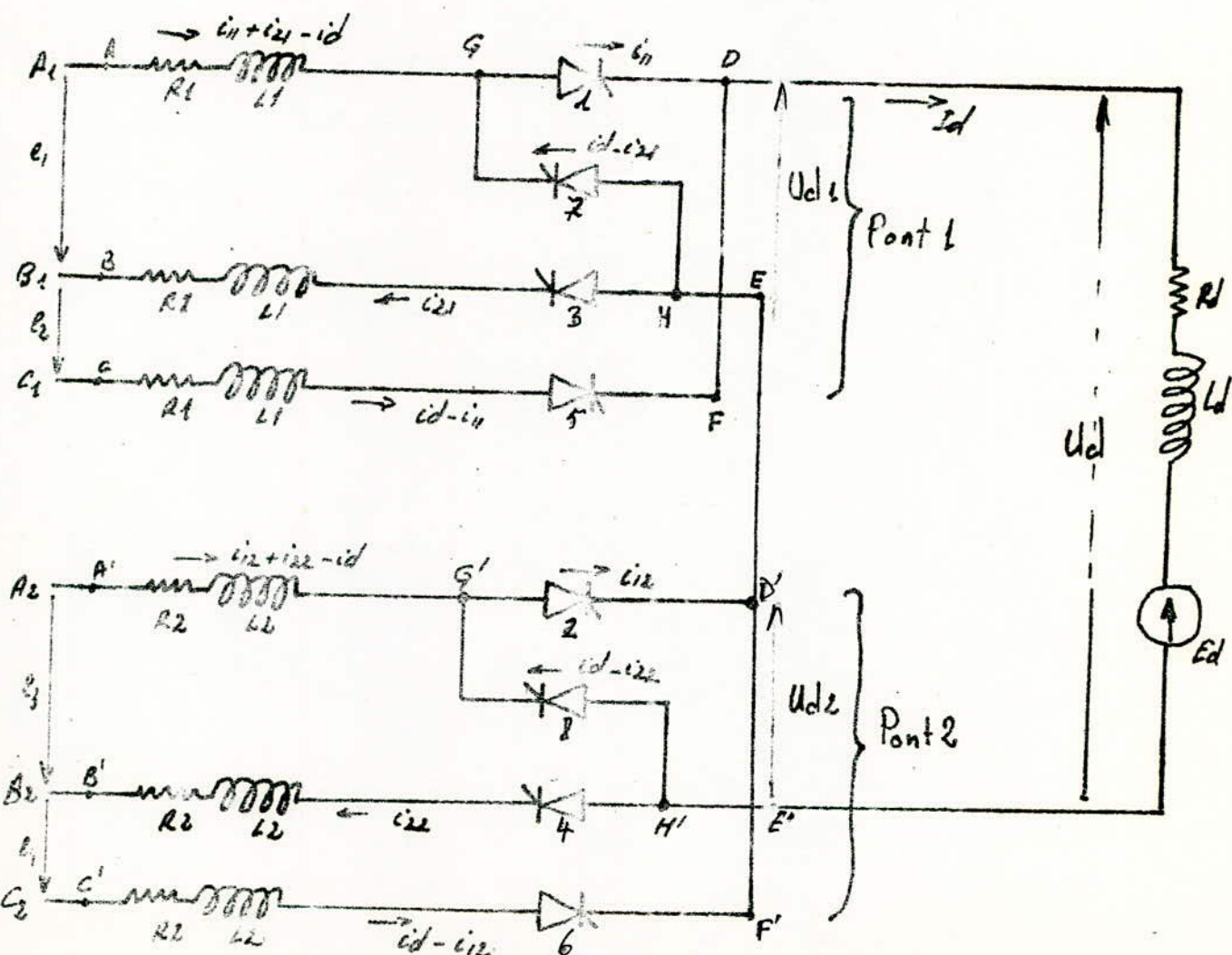


fig 3-3

Schemas topologiques

Pour chaque pont on prend le schema topologique quaternaire qui considère le cas général .(voir fig 3-3) les tensions A,B,C et A',B',C' sont déphasées de 30° . on considère que R₁,R₂,X₁,X₂ sont les résistances et les réactances de phase ramenées aux secondaires des transformateurs .

i₁₁ et i₂₁ sont respectivement les courants 1 et 2 de commutation dans le pont 1 .

i₁₂ et i₂₂ sont respectivement les courants 1 et 2 de commutation dans le pont 2

le schema de la fig 3-3 correspond au régime à 8 thyristors.

le régime à 7 thyristors correspond : pont 1 régime 3 et pont 2 régime 4 ou inversement .

UD₁ et UD₂ sont respectivement les valeurs des tensions moyennes redressées dans le pont 1 et 2 .

ID étant la valeur moyenne du courant redressé .

dans chaque pont ,pour une durée de 60° on a un fonctionnement bien défini .

durant l'intervalle 1+12m et 2+12m on a pas de changement dans le pont 1 .

on a un changement dans le pont 2 :

en régime 4 on a les valves 5,6,1,2 au lieu de 4,5,6,1 .
le système de tension a tourné de 60° par rapport à
l'axe fixe $\theta = 0$

on obtient :

-CA au lieu de AB

-AB au lieu de BC

-BC au lieu de CA

et comme cela on obtient tous les schémas dans les 12 intervalles .

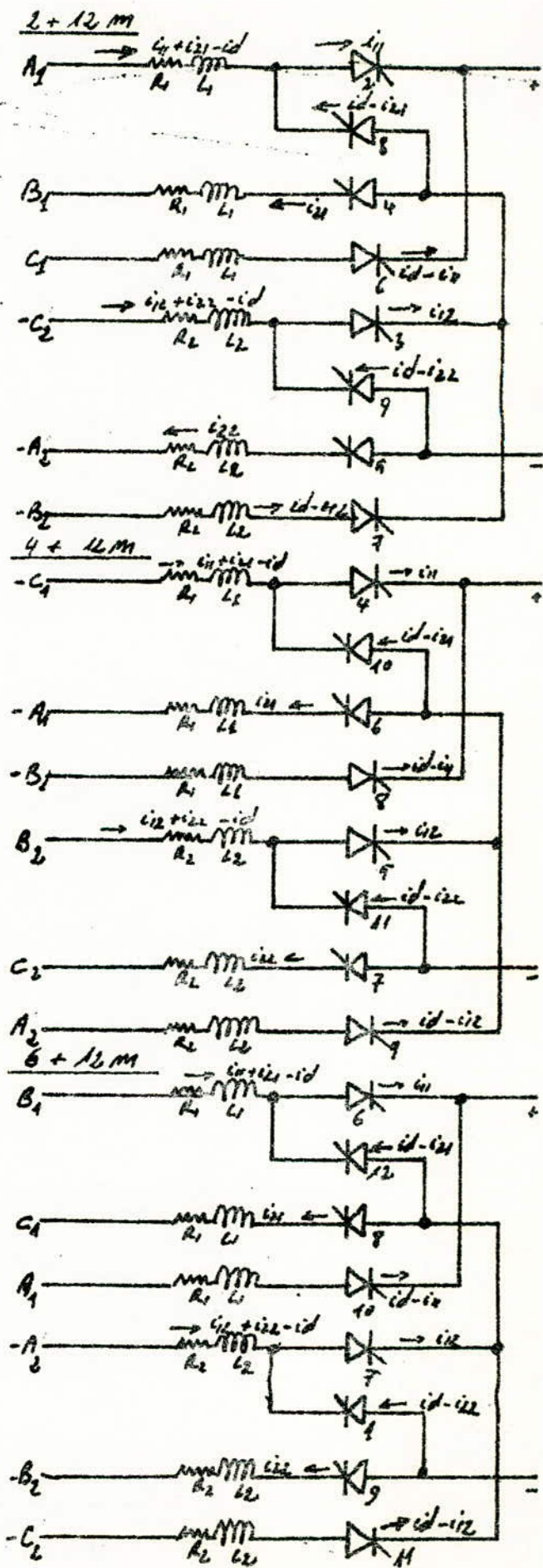
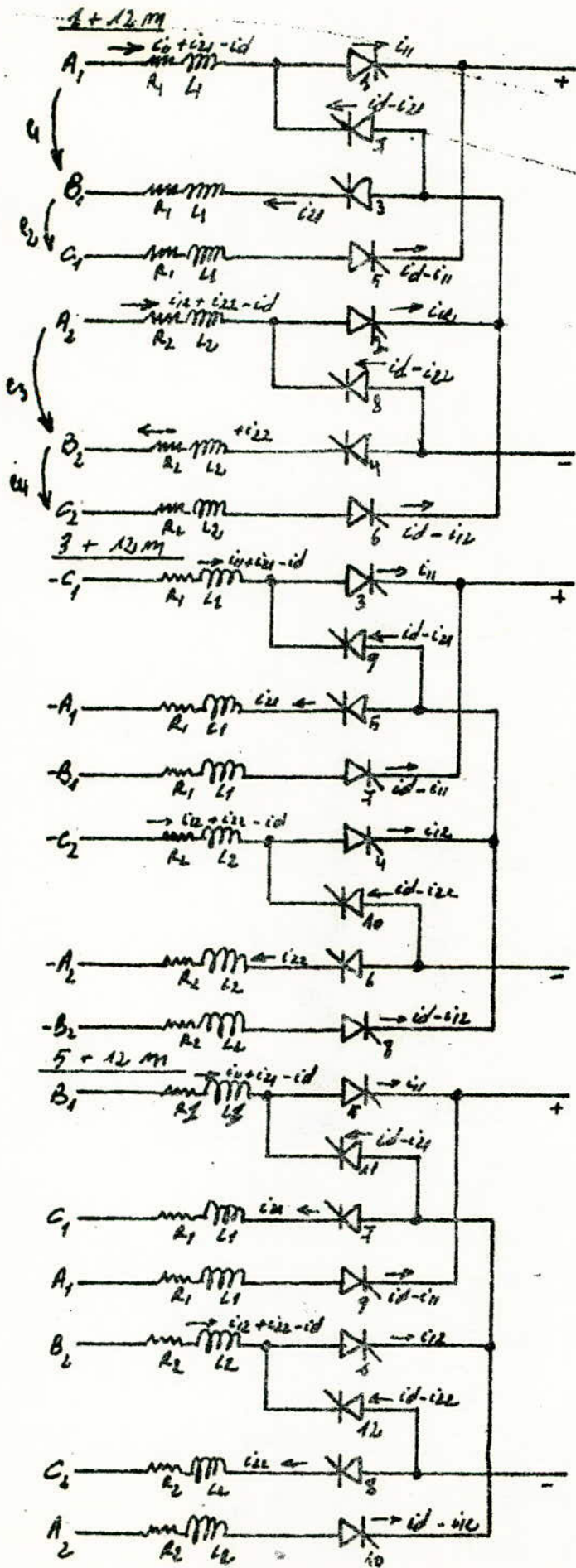
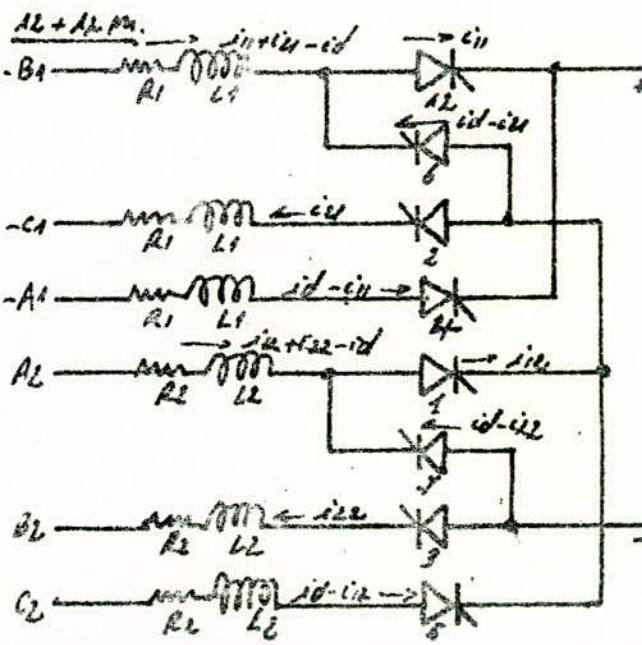
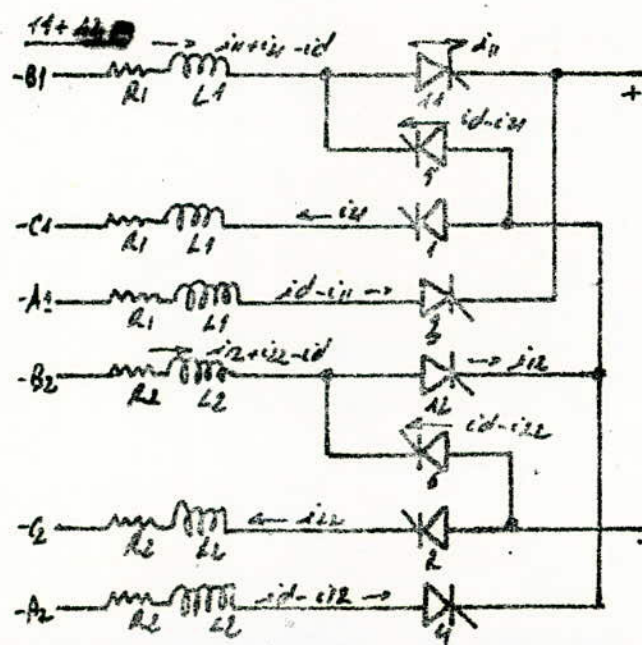
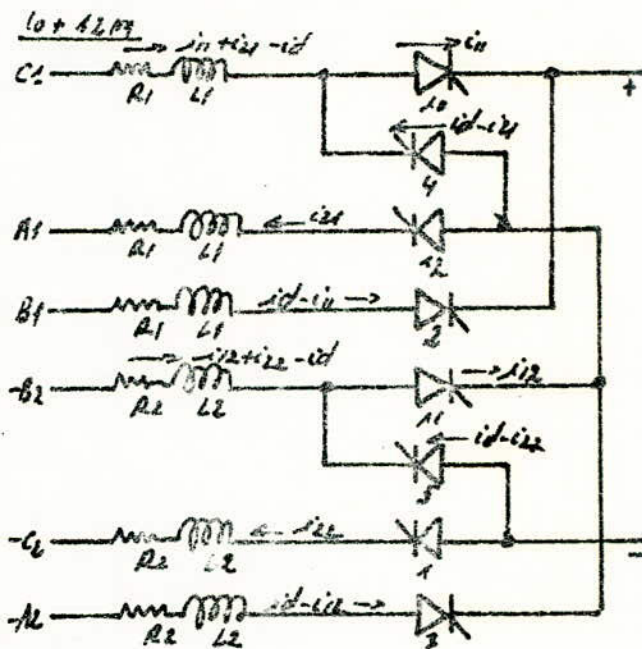
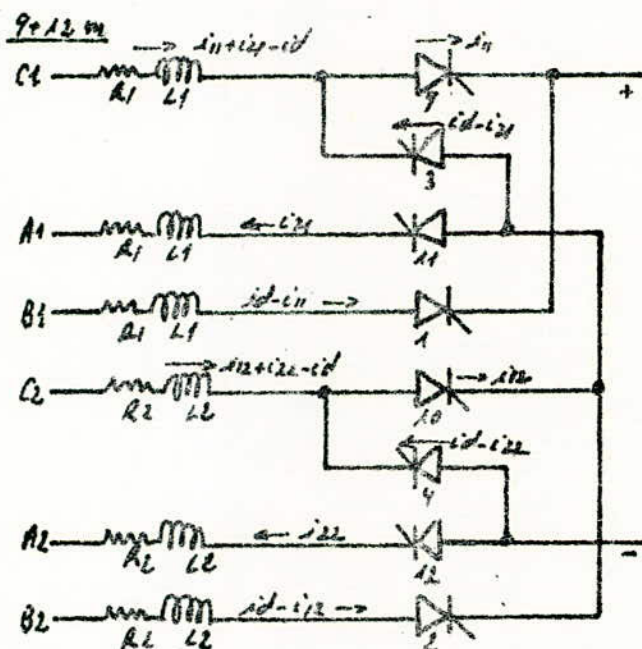
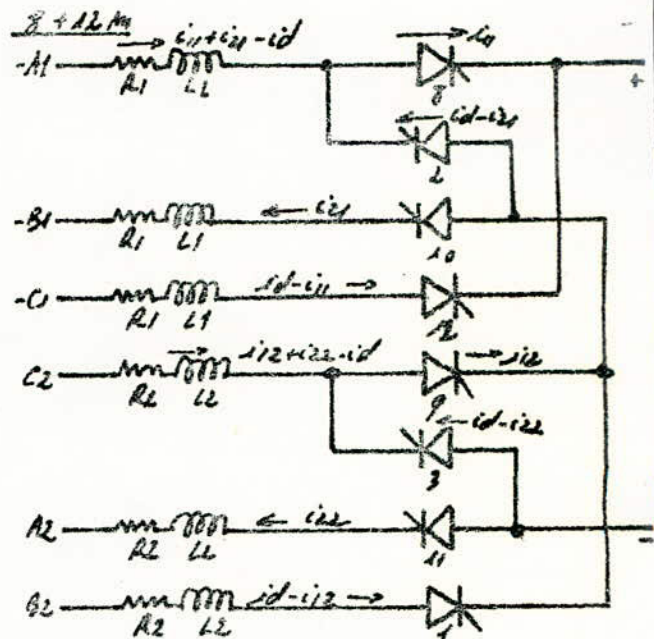
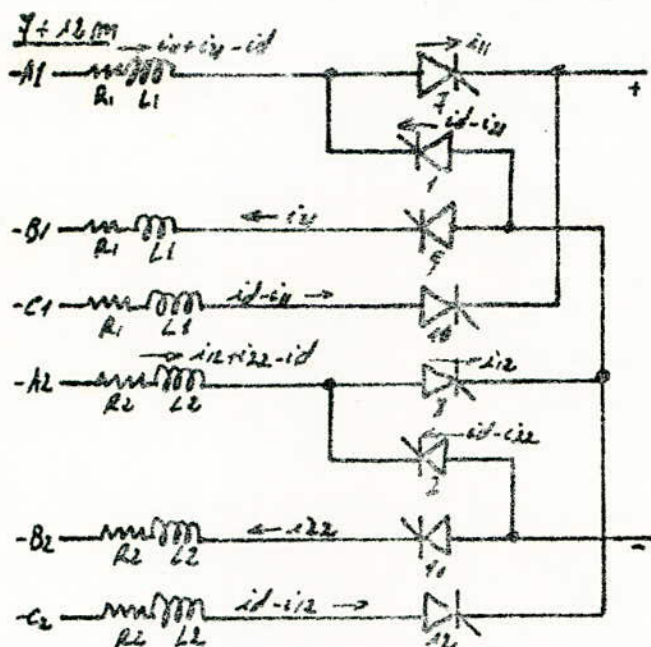


tableau Nº 1	1 + 12 m	2 + 12 m	3 + 12 m	4 + 12 m	5 + 12 m	6 + 12 m	7 + 12 m	8 + 12 m	9 + 12 m	10 + 12 m	11 + 12 m	12 + 12 m
e_1	U_{A1B1}	U_{A1B1}	U_{A1C1}	U_{A1C1}	U_{B1C1}	U_{B1C1}	U_{B1A1}	U_{B1A1}	U_{C1A1}	U_{C1A1}	U_{C1B1}	U_{C1B1}
e_2	U_{B1C1}	U_{B1C1}	U_{B1A1}	U_{B1A1}	U_{C1A1}	U_{C1A1}	U_{C1B1}	U_{C1B1}	U_{A1B1}	U_{A1B1}	U_{A1C1}	U_{A1C1}
e_3	U_{A2B2}	U_{A2C2}	U_{A2C2}	U_{B2C2}	U_{B2C2}	U_{B2A2}	U_{B2A2}	U_{C2A2}	U_{C2A2}	U_{C2B2}	U_{C2B2}	U_{A2B2}
e_4	U_{B2C2}	U_{B2A2}	U_{B2A2}	U_{C2A2}	U_{C2A2}	U_{C2B2}	U_{A2B2}	U_{A2B2}	U_{A2C2}	U_{A2C2}	U_{B2C2}	U_{B2C2}
i_{A1}	$i_{11} + i_{21} - id$	$i_{11} + i_{21} - id$	i_{21}	i_{21}	$id - i_{11}$	$id - i_{11}$	$id - i_{11} - i_{21}$	$id - i_{11} - i_{21}$	$-i_{21}$	$-i_{21}$	$i_{11} - id$	$i_{11} - id$
i_{B1}	$-i_{21}$	$-i_{21}$	$i_{11} - id$	$i_{11} - id$	$i_{11} + i_{21} - id$	$i_{11} + i_{21} - id$	i_{21}	i_{21}	$id - i_{11}$	$id - i_{11}$	$id - i_{11} - i_{21}$	$id - i_{11} - i_{21}$
i_{C1}	$id - i_{11}$	$id - i_{11}$	$id - i_{11} - i_{21}$	$id - i_{11} - i_{21}$	$-i_{21}$	$-i_{21}$	$i_{11} - id$	$i_{11} - id$	$i_{11} + i_{21} - id$	$i_{11} + i_{21} - id$	i_{21}	i_{21}
i_{A2}	$i_{12} + i_{22} - id$	i_{22}	i_{22}	$id - i_{12}$	$id - i_{12}$	$id - i_{12} - i_{22}$	$id - i_{12} - i_{22}$	$-i_{22}$	$-i_{22}$	$i_{12} - id$	$i_{12} - id$	$i_{12} + i_{22} - id$
i_{B2}	$-i_{22}$	$i_{12} - id$	$i_{12} - id$	$i_{12} + i_{22} - id$	$i_{12} + i_{22} - id$	i_{22}	i_{12}	$id - i_{12}$	$id - i_{12}$	$id - i_{12} - i_{22}$	$id - i_{12} - i_{22}$	$-i_{22}$
i_{C2}	$id - i_{12}$	$id - i_{12} - i_{22}$	$id - i_{12} - i_{22}$	$-i_{22}$	$-i_{22}$	$i_{12} - id$	$i_{12} - id$	$i_{12} + i_{22} - id$	$i_{12} + i_{22} - id$	i_{22}	i_{22}	$id - i_{12}$
i_A	$i_{11} + i_{21} + i_{12} + i_{22} + i_{12} - 2id$	$i_{11} + i_{21} + i_{22} - id$	$i_{11} + i_{22}$	$i_{21} + id - i_{12}$	$2id - i_{11} - i_{12} - i_{22}$	$2id - i_{11} - i_{21} - i_{22}$	$id - i_{11} - i_{21} - i_{22}$	$-i_{21} - i_{22}$	$i_{12} - i_{21} - id$	$i_{11} + i_{12} - 2id$	$i_{11} + i_{12} + i_{22} - 2id$	
i_B	$-i_{21} - i_{22}$	$i_{12} - i_{21} - id$	$i_{11} + i_{12} - 2id$	$i_{11} + i_{12} + i_{22} - 2id$	$i_{11} + i_{12} + i_{12} + i_{22} - 2id$	$i_{11} + i_{12} + i_{22} - 2id$	$i_{11} + i_{21} - i_{12}$	$2id - i_{11} - i_{12}$	$2id - i_{11} - i_{12} - i_{22}$	$2id - i_{11} - i_{21} - i_{22}$	$2id - i_{11} - i_{21} - i_{22} - i_{22}$	$id - i_{11} - i_{21} - i_{22} - i_{22}$
i_C	$2id - i_{11} - i_{12}$	$2id - i_{11} - i_{12} - i_{22}$	$2id - i_{11} - i_{21} - i_{22}$	$id - i_{11} - i_{21} - i_{22}$	$-i_{21} - i_{22}$	$i_{12} - id - i_{21} - i_{22}$	$i_{11} + i_{12} - 2id$	$i_{11} + i_{12} + i_{22} - 2id$	$i_{11} + i_{12} + i_{22} + i_{22} - 2id$	$i_{11} + i_{12} + i_{22} + i_{22} - 2id$	$i_{11} + i_{12} + i_{22} - 2id$	$id + i_{11} - i_{12}$



3-3 Mise en équations

3.3.1 Notations:

- i_{kj} courant k dans le pont j .
- E_m : tension simple maximum d'alimentation .
- R_s : résistance de phase du système énergétique .
- L_s : inductance de phase du système énergétique .
- R_t : résistance de phase du primaire du transformateur .
- L_t : inductance " " "
- R_1 : résistance " secondaire " (pont 1)
- R_2 : " " " " (pont 2)
- L_1 : inductance " " " " (pont 1)
- L_2 : " " " " " " (pont 2)
- R_d : résistance de la charge .
- L_d : inductance " "
- E_d : f.c.e.m de la charge .
- e_1, e_2, e_3, e_4 tensions composées (instantanées)
- ω : pulsation des tensions .
- T ; temps
- H : pas de calcul .
- Y_1, Y_2, Y_3, Y_4, Y_5 : représentent respectivement $i_{11}, i_{21}, i_d, i_{12}, i_{22}$.
- f_1, f_2, f_3, f_4, f_5 : dérivées des courants Y_1, Y_2, Y_3, Y_4, Y_5 .
- I_{A1}, I_{B1}, I_{C1} courants de phase d'alimentation triphasée dans le pont 1 .
- I_{A2}, I_{B2}, I_{C2} courants de phase d'alimentation triphasée dans le pont 2 .
- I_A, I_B, I_C courants de phase d'alimentation triphasée du pont dodecaphasé .

3.3.2 schema equivalent .

dans chaque intervalle on calcule le courant dans chaque phase pour les deux ponts .

et en faisant la somme des courants des phases correspondantes, on obtient IA,IB,IC ,ces courants sont utilises pour le calcul de la chute de tension dans le systeme energetique .

$$IA = IA1 + IA2$$

$$IB = IB1 + IB2$$

$$IC = IC1 + IC2$$

3.3.3 Equations regissant le systeme :

on considere que les deux ponts sont alimentés par deux sources independantes , dont les tensions sont decalees de 30° .

(voir fig 3-3)

nombre d'inconnues : 5 (i_{11} , i_{21} , i_d , i_{12} , i_{22})

on considere i_d comme connu ; car on peut determiner U_d a partir de la determination de i_d .

on a :

$$i_{d1} = i_{d2} = i_d \quad \text{les deux ponts etant en serie .}$$

$$U_{d1} + U_{d2} = U_d = E_d + R_d \frac{di_d}{dt} + L_d \frac{did}{dt}$$

pont 1:

-fonctionnement en regime 2 valves .

$$i_{11} = i_d \quad ; \quad i_{21} = i_d$$

on en deduit 2 equations .

$$1) \quad \frac{di_{11}}{dt} = \frac{di_d}{dt}$$

$$2) \quad \frac{di_{21}}{dt} = \frac{di_d}{dt}$$

Maille (A D E B)

$$3) e_1 = U_{d1} + R_1(-i_d + i_{11} + 2i_{21}) + L_1 \frac{d}{dt}(i_{11} + 2i_{21} - i_d)$$

fonctionnement en régime 3 valves.

$$i_{21} = i_d$$

Maille (A D F C)

$$4) e_1 + e_2 = R_1(2i_{11} - 2i_d + i_{21}) + L_1 \frac{d}{dt}(i_{11} + i_{11} - 2i_d + i_{21})$$

fonctionnement en régime 4 valves.

Maille (A G H B)

$$5) e_1 = R_1(i_{11} + 2i_{21} - i_d) + L_1 \frac{d}{dt}(i_{11} + 2i_{21} - i_d)$$

Pont 2 : fonctionnement en régime 2 valves

$$6) \frac{di_{12}}{dt} = \frac{di_d}{dt}$$

$$7) \frac{di_{22}}{dt} = \frac{di_d}{dt}$$

$$8) e_3 = U_{d2} + R_2(i_{12} + 2i_{22} - i_d) + L_2 \frac{d}{dt}(i_{12} + 2i_{22} - i_d)$$

fonctionnement en régime 3 valves.

$$i_{22} = i_d$$

Maille (A' D' F' C')

$$9) e_3 + e_4 = R_2(i_{22} + 2i_{12} - i_d) + L_2 \frac{d}{dt}(i_{22} + 2i_{12} - i_d)$$

fonctionnement en régime 4 valves .

Maille (A' G' H' B')

$$10) \quad e_3 = R_2(i_{12} + 2i_{22} - i_d) + L_2 \frac{di_{12}}{dt} (i_{12} + 2i_{22} - i_d)$$

Les équations 3 et 8 sont valables quelque soit les régimes dans le pont dodecaphase car elles représentent le régime à 4 qui est inclus dans les autres régimes . En prenant la somme des équations des deux ponts on obtient 6 équations à 6 inconnues; la 6^{ème} inconnue est la tension U_d . Comme les équations 3 et 8 sont valables dans tous les régimes ; en constate qu'en faisant la somme de 3 et 8 on obtient une équation 11 dans laquelle on élimine l'inconnue U_d .

Ceci nous donne un système de 5 équations à 5 inconnues .

Il en résulte 9 équations qui définissent le système :

$$1) \quad \frac{di_{11}}{dt} = \frac{di_d}{dt}$$

$$2) \quad \frac{di_{21}}{dt} = \frac{di_d}{dt}$$

$$11) \quad e_1 + e_3 = Ed + R_d i_d + R_1(i_{11} + 2i_{21} - i_d) + R_2(i_{12} + 2i_{22} - i_d) + L_d \frac{di_d}{dt}$$

$$+ L_1 \left(\frac{di_{11}}{dt} + \frac{di_{21}}{dt} - \frac{di_d}{dt} \right) + L_2 \left(\frac{di_{12}}{dt} + 2 \frac{di_{22}}{dt} - \frac{di_d}{dt} \right)$$

$$4) \quad e_1 + e_2 = R_1(i_{21} + 2i_{11} - i_d) + L_1 \left(2 \frac{di_{11}}{dt} - 2 \frac{di_d}{dt} + \frac{di_{21}}{dt} \right)$$

$$5) e_1 = R_1(i_{11} + 2i_{21} - i_d) + L_1(2 \frac{di_{21}}{dt} + \frac{di_{11}}{dt} - \frac{di_d}{dt})$$

$$6) \frac{di_{12}}{dt} = \frac{di_d}{dt}$$

$$7) \frac{di_{22}}{dt} = \frac{di_d}{dt}$$

$$9) e_3 + e_4 = R_2(i_{22} + 2i_{12} - 2i_d) + L_2(\frac{di_{22}}{dt} + 2 \frac{di_{12}}{dt} - 2 \frac{di_d}{dt})$$

$$10) e_3 = R_2(i_{12} + 2i_{22} - i_d) + L_2(2 \frac{di_{22}}{dt} + \frac{di_{12}}{dt} - \frac{di_d}{dt})$$

3.3.4 Choix des équations.

Il existe 9 combinaisons possibles d'états de fonctionnement du pont dodecaphasé. On a 5 équations sur 9 qui sont valables à chaque instant.

P1-R2 ; P2-R2 Equations (1, 2, 11, 6, 7)

P1-R2 ; P2-R3 Equations (1, 2, 11, 6, 9)

P1-R2 ; P2-R4 Equations (1, 2, 11, 9, 10)

•••

P1-R3 ; P2-R2 Equations (2, 4, 11, 6, 7)

P1-R3 ; P2-R3 Equations (2, 4, 11, 6, 9)

P1-R3 ; P2-R4 Equations (2, 4, 11, 9, 10)

•••

P1-R4 ; P2-R2 Equations (4, 5, 11, 6, 7)

P1-R4 ; P2-R3 Equations (4, 5, 11, 6, 9)

P1-R4 ; P2-R4 Equations (4, 5, 11, 9, 10)

L'état du pont dodecaphasé dépend de l'état du pont 1 et de l'état du pont 2.

Pour chaque régime du pont 1 on a 3 régimes possibles du pont 2 .. ce qui donne 9 régimes possibles pour le pont dodecaphasé ?

3.3.5 Calcul des valeurs muettes : ($e_1; e_2; e_3; e_4$)

on considère le schéma : (voir fig 3-4)

le système de tension e_3 et e_4 correspondant au pont 2 est en avance de 30° par rapport au système de tension $e_1; e_2$ correspondant au pont 1 .

Notre domaine de travail est linéaire ; on applique le théorème de superposition, on obtient le schéma équivalent (voir fig 3-5) .

Dans chaque intervalle la chute de tension dans le système d'alimentation est fonction de i_A, i_B, i_C

$$e_1 = e_{AB} + L_g \left(\frac{d}{dt} (i_B - i_A) \right) + R_g (i_B - i_A)$$

$$e_2 = e_{BC} + L_g \left(\frac{d}{dt} (i_C - i_B) \right) + R_g (i_C - i_B)$$

$$e_3 = e_{AB} + L_g \frac{d}{dt} (i_B - i_A) + R_g (i_B - i_A)$$

$$e_4 = e_{BC} + L_g \frac{d}{dt} (i_C - i_B) + R_g (i_C - i_B)$$

$$R_g = R_s + R_T$$

$$L_g = L_s + L_T$$

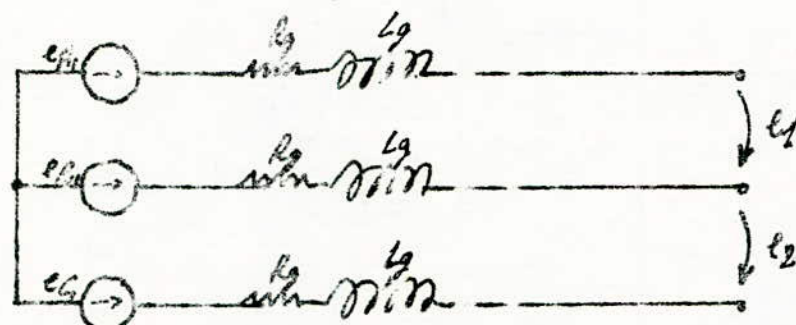
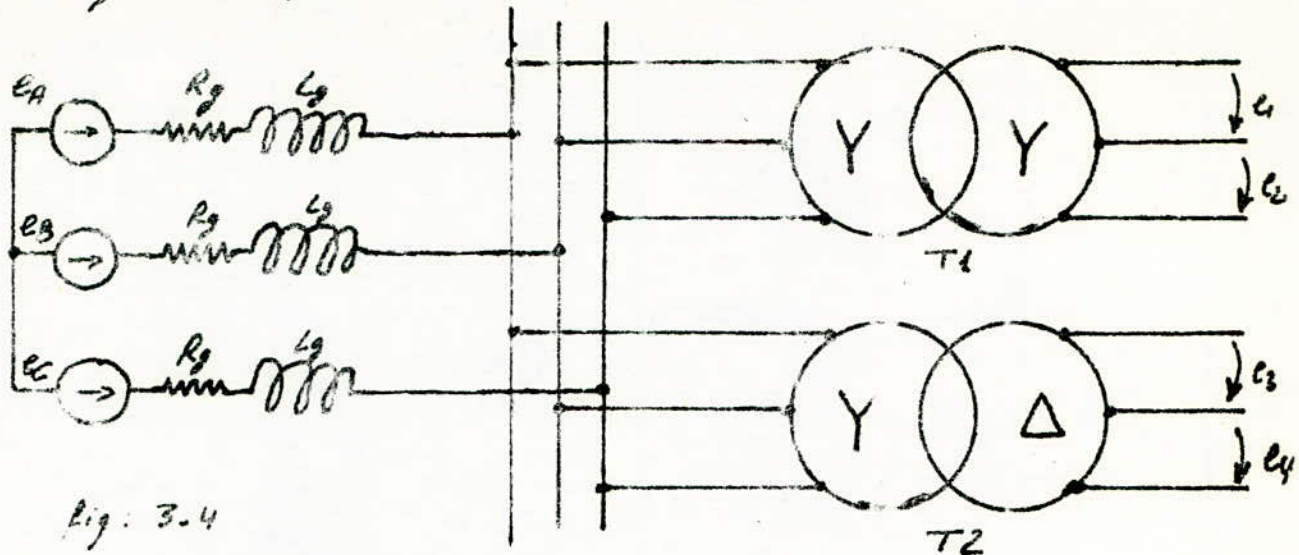
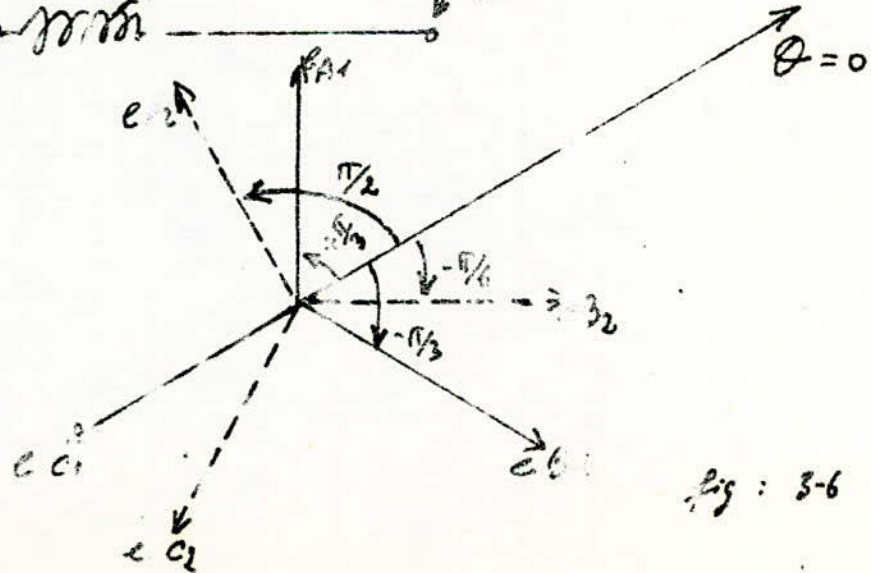
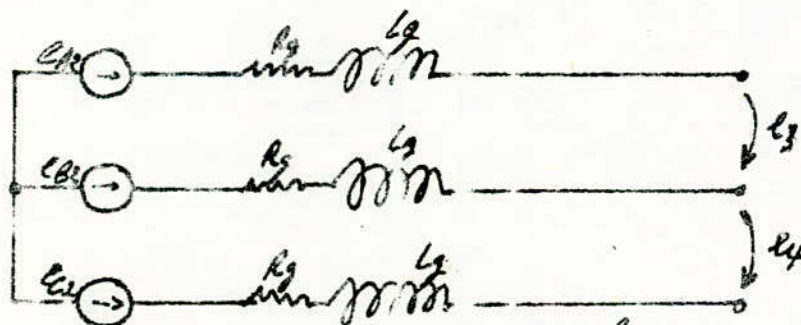


Fig. 3-5



Dans le tableau 1 on a toutes les tensions correspondantes
a e_1 ; e_2 ; e_3 ; e_4 pour chaque intervalle.

Le diagramme des tensions est représenté en fig 3-6

On choisit un déphasage initial de 60° c'est pour avoir
les mêmes f.e.m après une rotation de 60° .

$$e_{AB} = E_m \sin(\theta + 3,14/3 + d_1)$$

$$e_{BC} = E_m \sin(\theta - 3,14/3 + d_1)$$

$$e_{AB'} = E_m \sin(\theta + 3,14/2 + d_2)$$

$$e_{BC'} = E_m \sin(\theta - 3,14/6 + d_2)$$

Si on prend ces 4 équations pour l'intervalle $1+12m$ après
 60° on sera dans l'intervalle $3+12m$; pour $3+12m$ on a :

$e_1 = U_{AC} = -U_{CA}$ après 60° à partir de l'état initial U_{AC}
tournera de 60° et prendra la place de U_{AB} par rapport à
l'axe fixe. donc on aura la même équation que celle de e_{AB} .

on fait le même raisonnement pour les f.e.m $e_2; e_3; e_4$.

Lorsqu'on commence par l'intervalle $1+12m$; tous les 60° on a
les mêmes formules les formules précédentes de f.e.m sont
valables pour les intervalles impairs : $1+12m, 3+12m, \dots, 13+12m$

On en déduit de même des équations valables pour l'intervalle
pair. à partir des équations précédentes on fait une rotation
de 30° des vecteurs e_1, e_2, e_3, e_4 on obtient :

Intervalle pair :

$$e_1 = E_m \sin(\theta + 3,14/2 + \alpha)$$

$$e_2 = E_m \sin(\theta - 3,14/6 + \alpha)$$

$$e_3 = E_m \sin(\theta + 3,14/3 + \alpha)$$

$$e_4 = E_m \sin(\theta - 3,14/3 + \alpha)$$

On constate que les grandeurs $(i_B - i_A)$ et $(i_C - i_B)$ sont identiques respectivement pour les intervalles pairs et impairs (voir tableau 1).

tenant compte de toutes ces constatations on peut écrire :

-intervalle impair :

$$e_1 = E_m \sin(\theta + \frac{\pi}{3} + \alpha) + L_g (-f_1 - 2f_2 + 2f_3 - f_4 - 2f_5) + R_g (-y_1 - 2y_2 + 2y_3 - y_4 - y_5 - y_5)$$

$$e_2 = E_m \sin(\theta + \frac{\pi}{3} + \alpha) + L_g (-f_1 + f_2 + 2f_3 - f_4 + f_5) + R_g (-y_1 + y_2 + 2y_3 - y_4 + y_5)$$

$$e_3 = E_m \sin(\theta + \frac{\pi}{3} + \alpha) + L_g (-f_1 - 2f_2 + 2f_3 - f_4 - 2f_5) + R_g (-y_1 - 2y_2 + 2y_3 - y_4 - 2y_5)$$

$$e_4 = E_m \sin(\theta - \frac{\pi}{6} + \alpha) + L_g (-f_1 + f_2 + 2f_3 - f_4 + f_5) + R_g (-y_1 + y_2 + 2y_3 - y_4 + y_5)$$

-intervalle paire :

$$e_1 = E_m \sin(\theta + \frac{\pi}{2} + \alpha) + L_g (-2f_2 - f_1 + f_4 - f_5) + (-2y_2 - y_1 + y_4 - y_5) R_g$$

$$e_2 = E_m \sin(\theta - \frac{\pi}{2} + \alpha) + L_g (-f_1 + f_2 + 3f_3 - 2f_4 - f_5) + R_g (-y_1 + y_2 + 3y_3 - 2y_4 - y_5)$$

$$e_3 = E_m \sin(\theta + \frac{\pi}{3} + \alpha) + L_g (-2f_1 - f_2 + 3f_3 - f_4 - 2f_5) + R_g (-2y_1 - y_2 + 3y_3 - y_4 - 2y_5)$$

$$e_4 = E_m \sin(\theta - \frac{\pi}{3} + \alpha) + L_g (f_1 + 2f_2 - f_4 + f_5) + R_g (y_1 + 2y_2 - y_4 + y_5)$$

On peut écrire les valeurs de e_1, e_2, e_3, e_4 sous la forme suivante .

$$e_j = E_m \sin(G_j) + D E_j \quad j \text{ varie de } 1 \text{ à } 4 .$$

$$DU_1 = L_g(-f_1 - 2f_2 + 2f_3 - f_4 - 2f_5) + R_g(-y_1 - 2y_2 + 2y_3 - y_4 - 2y_5)$$

$$DU_2 = L_g(-f_1 + f_2 + 2f_3 - f_4 + f_5) + R_g(-y_1 + y_2 + 2y_3 - y_4 + y_5)$$

$$DU_3 = L_g(-2f_2 - f_1 + f_4 - f_5) + R_g(-2y_2 - y_1 + y_4 - y_5)$$

$$DU_4 = L_g(-f_1 + f_2 - 2f_4 - f_5 + 3f_3) + R_g(-y_1 + y_2 - 2y_4 - y_5 + 3y_3)$$

$$\text{ARG1} = (\theta + 1,047 + 4,3,14/180)$$

$$\text{ARG2} = (\theta + 1,047 + 4,3,14/180)$$

$$\text{ARG3} = (\theta + 1,57 + 4,3,14/180)$$

$$\text{ARG4} = (\theta - 0,523 + 4,3,14/180)$$

Apres en faisant un test sur la parité du système avec la formule suivante :

$A = N - 2(\text{IN})$ IN étant la partie entière de $N+1/2$
 N : numéro de l'intervalle .

si A est nul l'intervalle est pair .

si A est positif ou négatif l'intervalle est impair .

-Intervalle impair :

G1 = ARG1

G2 = ARG2

G3 = ARG3

G4 = ARG4

DE1 = DU1

DE2 = DU2

DE3 = DU1

DE4 = DU2

-Intervalle pair :

G1 = ARG3

G2 = ARG4

G3 = ARG1

G4 = ARG2

DE1 = DU3

DE2 = DU4

DE3 = DU3 + DU4

DE4 = -DU3

On écrit le système d'équations sous forme matricielle.

toutes les valeurs de e_1, e_2, e_3, e_4 seront remplacées par leurs expressions : $e_j = E_m \sin(G_j) + DE_j$

- L'inversion des matrices sera faite à la main afin de diminuer la longueur du programme et le temps de calcul.

Equations matricielles

Pont 1 - Régime - 4 - Pont 2 - Régime - 4 :
 $(i_{11}, i_{12}, i_{12}, i_{22}) < Id$.

$$\begin{bmatrix} 2L_1 & L_1 & -2L_1 & 0 & 0 \\ L_1 & 2L_1 & -L_1 & 0 & 0 \\ 0 & 0 & (-L_1 - L_2 + L_3) & L_2 & 2L_2 \\ 0 & 0 & 0 & L_2 & L_2 \end{bmatrix} \begin{bmatrix} f_1 \\ f_2 \\ f_3 \\ f_4 \\ f_5 \end{bmatrix} = \begin{bmatrix} e_1 + e_2 - R_1(2y_1 + y_2 - 2y_3) \\ e_1 - R_1(2y_2 + y_1 - y_3) \\ e_1 + e_3 - Ed - Rd y_3 - R_1(y_1 + 2y_2 - y_3) - R_2(y_4 + 2y_5 - y_3) \\ e_3 + e_4 - R_2(2y_4 + y_5 - 2y_3) \\ e_3 - R_2(2y_5 + y_4 - y_3) \end{bmatrix}$$

Pont 1 - Régime - 4 - Pont 2 - Régime - 3 :
 $(i_{11}, i_{12}, i_{12}) < Id ; i_{22} = Id$.

$$\begin{bmatrix} 2L_1 & L_1 & -2L_1 & 0 & 0 \\ L_1 & 2L_1 & -L_1 & 0 & 0 \\ 0 & 0 & (-L_1 + L_2 + L_3) & L_2 & 0 \\ 0 & 0 & -L_2 & 2L_2 & 0 \\ 0 & 0 & 1 & 0 & -1 \end{bmatrix} \begin{bmatrix} f_1 \\ f_2 \\ f_3 \\ f_4 \\ f_5 \end{bmatrix} = \begin{bmatrix} e_1 + e_2 - R_1(2y_1 + y_2 - 2y_3) \\ e_1 - R_1(2y_2 + y_1 - y_3) \\ e_1 + e_3 - Ed - Rd y_3 - R_1(y_1 + 2y_2 - y_3) - R_2(y_4 + y_3) \\ e_3 + e_4 - R_2(2y_4 - y_3) \\ 0 \end{bmatrix}$$

Pont 1 - Régime - 4 - Pont 2 - Régime - 2
 $(i_{11}, i_{12}) < Id ; i_{22} = i_{12} = Id$.

$$\begin{bmatrix} 2L_1 & L_1 & -2L_1 & 0 & 0 \\ L_1 & 2L_1 & -L_1 & 0 & 0 \\ 0 & 0 & (-L_1 + L_2 + L_3) & 0 & 0 \\ 0 & 0 & 1 & -1 & 0 \\ 0 & 0 & 1 & 0 & -1 \end{bmatrix} \begin{bmatrix} f_1 \\ f_2 \\ f_3 \\ f_4 \\ f_5 \end{bmatrix} = \begin{bmatrix} e_1 + e_2 - R_1(2y_1 + y_2 - 2y_3) \\ e_1 - R_1(2y_2 + y_1 - y_3) \\ e_1 + e_3 - Ed - Rd y_3 - R_1(y_1 + 2y_2 - y_3) - 2L_2 y_3 \\ (e_3 + e_4 - R_2 y_3) = 0 \\ 0 \end{bmatrix}$$

Pont 1 - Régime - 3 ; Pont 2 - Régime - 4
 $i_{21} = Id$; $(i_1, i_{22}, i_{12}) < Id$

$$\begin{bmatrix} 24 & 0 & -4 & 0 & 0 \\ 0 & 1 & -1 & 0 & 0 \\ 4 & 0 & (4+6-6) & 6 & 24 \\ 0 & 0 & -24 & 24 & 6 \\ 0 & 0 & -6 & 6 & 24 \end{bmatrix} \begin{bmatrix} f_1 \\ f_2 \\ f_3 \\ f_4 \\ f_5 \end{bmatrix} = \begin{bmatrix} e_1 + e_2 - R_1(y_1 - y_3) \\ 0 \\ e_1 + e_3 - Ed - Rd y_3 - R_1(y_1 + y_3) - R_2(y_4 + 2y_5 - y_3) \\ e_3 + e_4 - R_2(2y_4 + y_5 - 2y_3) \\ e_3 - R_2(2y_5 + y_4 - y_3) \end{bmatrix}$$

Pont 1 - Régime - 3 ; Pont 2 - Régime - 3
 $i_{21} = i_{22} = Id$; $(i_1, i_{12}) < Id$.

$$\begin{bmatrix} 24 & 0 & -4 & 0 & 0 \\ 0 & 1 & -1 & 0 & 0 \\ 4 & 0 & (4+4+6) & 6 & 0 \\ 0 & 0 & -6 & 24 & 0 \\ 0 & 0 & 1 & 0 & -1 \end{bmatrix} \begin{bmatrix} f_1 \\ f_2 \\ f_3 \\ f_4 \\ f_5 \end{bmatrix} = \begin{bmatrix} e_1 + e_2 - R_1(2y_1 - y_3) \\ 0 \\ e_1 + e_3 - Ed - Rd y_3 - R_1(y_1 + y_3) - R_2(y_4 + y_3) \\ e_3 + e_4 - R_2(2y_4 - y_3) \\ 0 \end{bmatrix}$$

Pont 1 - Régime - 3 ; Pont 2 - Régime - 2.
 $i_{21} = i_{22} = i_{12} = Id$; $i_1 < Id$.

$$\begin{bmatrix} 24 & 0 & -4 & 0 & 0 \\ 0 & 1 & -1 & 0 & 0 \\ 4 & 0 & (4+4+6) & 0 & 0 \\ 0 & 0 & 1 & -1 & 0 \\ 0 & 0 & 1 & 0 & -1 \end{bmatrix} \begin{bmatrix} f_1 \\ f_2 \\ f_3 \\ f_4 \\ f_5 \end{bmatrix} = \begin{bmatrix} e_1 + e_2 - R_1(2y_1 - y_3) \\ 0 \\ e_1 + e_3 - Ed - Rd y_3 - R_1(y_1 + y_3) - 2R_2 y_3 \\ 0 \\ 0 \end{bmatrix}$$

Pont 1 - Regime - 2 ; Pont 2 - Regime 4
 $i_{11} = i_{12} = Id$; $(i_{22}, i_{12}) < Id$

$$\begin{bmatrix} 1 & 0 & -1 & 0 & 0 \\ 0 & 1 & -1 & 0 & 0 \\ 0 & 0 & (k_1+k_2+Id) & k_2 & i_{12} \\ 0 & 0 & -2k_2 & k_2 & k_2 \\ 0 & 0 & -k_2 & k_2 & i_{12} \end{bmatrix} \begin{bmatrix} f_1 \\ f_2 \\ f_3 \\ f_4 \\ f_5 \end{bmatrix} = \begin{bmatrix} 0 \\ 0 \\ e_4 + e_3 - Ed - R_1 y_3 - k_2 (y_4 + y_5 - y_3) \\ e_3 + e_4 - R_2 (y_4 + y_5 - y_3) \\ e_3 - R_2 (y_5 + y_4 - y_3) \end{bmatrix}$$

Pont 1 - Regime 2 ; Pont 2 - Regime 3
 $i_{11} = i_{12} = i_{22} = Id$; $i_{12} < Id$.

$$\begin{bmatrix} 1 & 0 & -1 & 0 & 0 \\ 0 & 1 & -1 & 0 & 0 \\ 0 & 0 & (k_1+k_2+Id) & k_2 & 0 \\ 0 & 0 & -k_2 & k_2 & 0 \\ 0 & 0 & 1 & 0 & -1 \end{bmatrix} \begin{bmatrix} f_1 \\ f_2 \\ f_3 \\ f_4 \\ f_5 \end{bmatrix} = \begin{bmatrix} 0 \\ 0 \\ e_4 + e_3 - Ed - R_1 y_3 - 2k_2 y_3 - R_2 (y_4 + y_5) \\ e_3 + e_4 - R_2 (y_4 - y_3) \\ 0 \end{bmatrix}$$

Pont 1 - Regime 2 ; Pont 2 - Regime 2
 $i_{11} = i_{12} = i_{12} = i_{22} = Id$

$$\begin{bmatrix} 1 & 0 & -1 & 0 & 0 \\ 0 & 1 & -1 & 0 & 0 \\ 0 & 0 & (k_1+k_2+Id) & 0 & 0 \\ 0 & 0 & 1 & -1 & 0 \\ 0 & 0 & 1 & 0 & -1 \end{bmatrix} \begin{bmatrix} f_1 \\ f_2 \\ f_3 \\ f_4 \\ f_5 \end{bmatrix} = \begin{bmatrix} 0 \\ 0 \\ e_4 + e_3 - Ed - R_1 y_3 - 2y_3 (R_1 + R_2) \\ 0 \\ 0 \end{bmatrix}$$

Inversion des matrices précédentes.
pour chaque régime de fonctionnement.

Pont 1 - Régime 4 ; Pont 2 - Régime 4

$$\begin{bmatrix} f_1 \\ f_2 \\ f_3 \\ f_4 \\ f_5 \end{bmatrix} = \begin{bmatrix} 6/9L_1 & -\frac{1}{L_1} - \frac{1}{3L_1} & \frac{1}{L_1} & 0 & -\frac{1}{L_1} \\ -\frac{1}{3L_1} & 6/9L_1 & 0 & 0 & 0 \\ 0 & -\frac{1}{L_1} & \frac{1}{L_1} & 0 & -\frac{1}{L_1} \\ 0 & -\frac{1}{L_1} & \frac{1}{L_1} & \frac{6}{9L_2} & -\frac{1}{L_1} - \frac{1}{3L_2} \\ 0 & 0 & 0 & -\frac{1}{L_2} & 6/9L_2 \end{bmatrix} \begin{bmatrix} e_1 + e_2 - R_1(y_1 + y_2 - 2y_3) \\ e_1 - R_1(y_2 + y_4 - y_3) \\ e_1 + e_3 - Ed - Rd y_3 - R_1(y_1 + y_2 - y_3) - R_2(y_4 + y_5 - y_3) \\ e_3 + e_4 - R_2(y_4 + y_5 - 2y_3) \\ e_3 - R_2(y_1 + y_4 - y_3) \end{bmatrix}$$

$$f_1 = -\frac{R_1}{L_1} y_1 + \left(\frac{R_1}{L_1} - \frac{Rd}{L_1} \right) y_3 + \frac{e_1}{3L_1} + 2 \frac{e_2}{3L_1} - \frac{Ed}{L_1}$$

$$f_2 = -\frac{R_1}{L_1} y_2 + \frac{e_1}{3L_1} - \frac{e_2}{3L_1}$$

$$f_3 = -\frac{Rd}{L_1} y_3 - \frac{Ed}{L_1}$$

$$f_4 = -\frac{R_2}{L_2} y_3 - \frac{R_2}{L_2} y_4 + \frac{e_3}{3L_2} + 2 \frac{e_4}{3L_2} - \frac{Ed}{L_2}$$

$$f_5 = -\frac{R_2}{L_2} y_5 + \frac{e_3}{3L_2} - \frac{e_4}{3L_2}$$

Pont 1 - Régime 4 ; Pont 2 - Régime 3

$$\begin{bmatrix} f_1 \\ f_2 \\ f_3 \\ f_4 \\ f_5 \end{bmatrix} = \begin{bmatrix} \frac{e}{3L_1} & \left(-\frac{1}{3L_1} - \frac{2}{3L_2 + 2Ld}\right) & \frac{e}{3L_2 + 2Ld} & \frac{-1}{3L_2 + 2Ld} & 0 \\ \frac{-1}{3L_1} & \frac{2}{3L_1} & 0 & 0 & 0 \\ 0 & \frac{-2}{3L_2 + 2Ld} & \frac{e}{3L_2 + 2Ld} & \frac{-1}{3L_2 + 2Ld} & 0 \\ 0 & \frac{-1}{3L_2 + 2Ld} & \frac{1}{3L_2 + 2Ld} & \frac{L_2 + Ld}{3L_2^2 + 2L_2 Ld} & 0 \\ 0 & \frac{-2}{3L_2 + 2Ld} & \frac{e}{3L_2 + 2Ld} & \frac{-1}{3L_2 + 2Ld} & 1 \end{bmatrix} \begin{bmatrix} e_1 + e_2 - R_1(y_1 + y_2 - 2y_3) \\ e_1 - R_1(2y_2 + y_1 - y_3) \\ e_1 + e_3 - Ed - Rd y_3 - R_1(y_1 + 2y_2 - y_3) \\ - R_2(y_4 + y_3) \\ e_3 + e_4 - R_2(2y_4 - y_3) \\ 0 \end{bmatrix}$$

$$f_1 = -\frac{R_1}{L_1} y_1 + \left(\frac{R_1}{L_1} - \frac{3R_1 + 2Rd}{3L_2 + 2Ld}\right) y_3 + \frac{e_1}{3L_1} + 2 \frac{e_2}{3L_1} + \frac{e_3}{3L_2 + 2Ld} - \frac{e_4}{3L_2 + 2Ld} - \frac{2Ed}{3L_2 + 2Ld}$$

$$f_2 = -\frac{R_1}{L_1} y_2 + \frac{e_1}{3L_1} - \frac{e_2}{3L_1}$$

$$f_3 = f_5 = -\frac{3R_2 - 2Rd}{3L_2 + 2Ld} y_3 + \frac{e_3}{3L_2 + 2Ld} - \frac{e_4}{3L_2 + 2Ld} - 2 \frac{Ed}{3L_2 + 2Ld}$$

$$f_4 = \frac{(R_2(L_2 - Rd) - L_2)}{3L_2^2 + 2L_2 Ld} y_3 - \frac{R_2}{L_2} y_4 + \frac{2L_2 + Ld}{3L_2^2 + 2L_2 Ld} e_3 + \frac{L_2 + Ld}{3L_2^2 + 2L_2 Ld} e_4 - \frac{Ed}{3L_2 + 2Ld}$$

Pont 1 - Régime 4 ; Pont 2 - Régime 2

$$\begin{bmatrix} f_1 \\ f_2 \\ f_3 \\ f_4 \\ f_5 \end{bmatrix} = \begin{bmatrix} \frac{2}{3L_1} & \left(-\frac{1}{3L_1} - \frac{1}{2L_2+Ld} \right) & \frac{1}{2L_2+Ld} & 0 & 0 \\ -\frac{1}{3L_1} & \frac{2}{3L_1} & 0 & 0 & 0 \\ 0 & \frac{-1}{2L_2+Ld} & \frac{1}{2L_2+Ld} & 0 & 0 \\ 0 & \frac{-1}{2L_2+Ld} & \frac{1}{2L_2+Ld} & -1 & 0 \\ 0 & \frac{-1}{2L_2+Ld} & \frac{1}{2L_2+Ld} & 0 & -1 \end{bmatrix} \begin{bmatrix} e_1 + e_2 - R_1(y_1 + y_2 - 2y_3) \\ e_1 - R_1(y_2 + y_1 - y_3) \\ e_1 + e_3 - Ed - Rd y_3 - R_1(y_1 + 2y_2 - y_3) \\ -R_2(2y_3) \\ 0 \end{bmatrix}$$

$$f_1 = -\frac{R_1}{L_1} y_1 + \left(\frac{R_1}{L_1} - \frac{Rd + 2R_2}{2L_2 + Ld} \right) y_3 + \frac{e_1}{3L_1} + \frac{2e_2}{3L_1} + \frac{e_3}{2L_2 + Ld} - \frac{Ed}{2L_2 + Ld}$$

$$f_2 = -\frac{R_1}{L_1} y_2 + \frac{e_1}{3L_1} - \frac{e_2}{3L_1}$$

$$f_3 = f_4 = f_5 = -\frac{(Rd + 2R_2)}{2L_2 + Ld} y_3 + \frac{e_3}{2L_2 + Ld}$$

Pont 1 - Regime 3 ; Pont 2 - Regime 4

$$\left[\begin{array}{c|ccccc} P & \frac{4+ld}{3L_1^2+2ld} & 0 & \frac{1}{3L_1+2ld} & 0 & \frac{-1}{3L_1+2ld} \\ \hline P_1 & \frac{-1}{3L_1+2ld} & 1 & \frac{2}{3L_1+2ld} & 0 & \frac{-2}{3L_1+2ld} \\ P_2 = & \frac{-1}{3L_1+2ld} & 0 & \frac{2}{3L_1+2ld} & 0 & \frac{-2}{3L_1+2ld} \\ P_3 & \frac{-1}{3L_1+2ld} & 0 & \frac{2}{3L_1+2ld} & \frac{2}{3L_2} \left(\frac{1}{3L_2} - \frac{1}{3L_1+2ld} \right) & \frac{2}{3L_2} \\ P_4 & 0 & 0 & \frac{2}{3L_1+2ld} & -\frac{1}{3L_2} & \frac{2}{3L_2} \\ P_5 & 0 & 0 & 0 & -\frac{1}{3L_2} & \frac{2}{3L_2} \end{array} \right] \quad \left[\begin{array}{l} e_1 + e_2 - R_1 (2y_1 - y_3) \\ 0 \\ e_1 + e_3 - Ed - Rd y_2 - R_1 (y_1 + y_3) \\ \quad - R_2 (y_4 + 2y_5 - y_3) \\ e_3 + e_4 - R_2 (2y_4 + y_5 - y_3) \\ e_3 - R_2 (2y_5 + y_4 - y_3) \end{array} \right]$$

$$f_1 = -\frac{R_1}{L_1} y_1 + \frac{(R_1 d - Rd L_1)}{3L_1^2 + 2ld L_1} y_3 + \frac{2L_1 + ld}{3L_1^2 + 2ld L_1} e_1 + \frac{L_1 + ld}{3L_1^2 + 2ld L_1} e_2 - \frac{Ed}{3L_1 + 2ld}$$

$$f_2 = f_3 = -\frac{3R_1 + 2Rd}{3L_1 + 2ld} y_3 + \frac{e_1}{3L_1 + 2ld} - \frac{e_2}{3L_1 + 2ld} - \frac{2Ed}{3L_1 + 2ld}$$

$$f_4 = \left(\frac{R_1}{L_2} - \frac{3R_1 + 2Rd}{3L_1 + 2ld} \right) y_3 - \frac{R_2}{L_2} y_4 + \frac{e_1}{3L_1 + 2ld} - \frac{e_2}{3L_1 + 2ld} + \frac{e_3}{3L_2} + \frac{2e_4}{3L_2} - \frac{2Ed}{3L_1 + 2ld}$$

$$f_5 = -\frac{R_2}{L_2} y_5 + \frac{e_3}{3L_2} - \frac{e_4}{3L_2}$$

Pont 1 - Régime 3 ; Pont 2 - Régime 3

$$\left[\begin{array}{ccccc} f_1 & \frac{3L_2 + 2L_4 + 2Ld}{6L_2 + 6L_4 + 4Ld} & 0 & \frac{2}{6L_2 + 6L_4 + 4Ld} & \frac{-1}{6L_2 + 6L_4 + 4Ld} & 0 \\ f_2 & \frac{-2}{6L_2 + 6L_4 + 4Ld} & 1 & \frac{4}{6L_2 + 6L_4 + 4Ld} & \frac{-2}{6L_2 + 6L_4 + 4Ld} & 0 \\ f_3 = & \frac{-2}{6L_2 + 6L_4 + 4Ld} & 0 & \frac{4}{6L_2 + 6L_4 + 4Ld} & \frac{-2}{6L_2 + 6L_4 + 4Ld} & 0 \\ f_4 & \frac{-1}{6L_2 + 6L_4 + 4Ld} & 0 & \frac{2}{6L_2 + 6L_4 + 4Ld} & \frac{3L_2 + 2Ld + 2L_4}{L_2(6L_2 + 6L_4 + 4Ld)} & 0 \\ f_5 & \frac{-2}{6L_2 + 6L_4 + 4Ld} & 0 & \frac{4}{6L_2 + 6L_4 + 4Ld} & \frac{-2}{6L_2 + 6L_4 + 4Ld} & -1 \end{array} \right] \left[\begin{array}{l} e_1 + e_2 - R_1(y_2 - y_3) \\ 0 \\ e_1 + e_3 - Ed - Rd y_3 - R_3(y_1 + y_3) \\ - R_2(y_4 + y_3) \\ e_3 + e_4 - R_2(y_4 - y_2) \\ 0 \end{array} \right]$$

$$f_1 = -\frac{R_1}{L_2} y_1 + \frac{\left(\frac{3L_2 R_1 + 2Ld R_1 - 3R_2 - 2Rd}{L_2}\right)}{6L_2 + 6L_4 + 4Ld} y_3 + \frac{3L_2 + 4L_4 + 2Ld}{6(L_2 + 6L_4 + 4Ld)} y_4 \\ + \frac{3L_2 + 2L_4 + 2Ld}{6L_2 + 6L_4 + 4Ld} e_2 + \frac{2e_3}{6L_2 + 6L_4 + 4Ld} - \frac{e_4}{6L_2 + 6L_4 + 4Ld} - \frac{2Ed}{6L_2 + 6L_4 + 4Ld}$$

$$f_2 = f_3 = f_5 = -\frac{6R_1 + 6R_2 + 4Rd}{6L_2 + 6L_4 + 4Ld} y_3 + \frac{2e_1}{6L_2 + 6L_4 + 4Ld} - \frac{2e_2}{6L_2 + 6L_4 + 4Ld} \\ + \frac{2e_3}{6L_2 + 6L_4 + 4Ld} - \frac{2e_4}{6L_2 + 6L_4 + 4Ld} - \frac{4Ed}{6L_2 + 6L_4 + 4Ld}$$

$$f_4 = \frac{3R_2 L_4 + 2R_2 Ld - 3R_1 L_2 - 2L_2 Rd}{L_2(6L_2 + 6L_4 + 4Ld)} y_3 - \frac{R_2}{L_2} y_4 + \frac{e_1}{6L_2 + 6L_4 + 4Ld} \\ - \frac{e_2}{6L_2 + 6L_4 + 4Ld} + \frac{4L_2 + 3L_4 + 2Ld}{L_2(6L_2 + 6L_4 + 4Ld)} e_3 + \frac{3L_1 + 2Ld + 2L_2}{L_2(6L_2 + 6L_4 + 4Ld)} e_4 \\ - \frac{2Ed}{6L_2 + 6L_4 + 4Ld}$$

Pont 1 - Régime 3 ; Pont 2 - Régime 2

$$\begin{bmatrix} f_1 \\ f_2 \\ f_3 \\ f_4 \\ f_5 \end{bmatrix} = \begin{bmatrix} \frac{2L_2 + L_1 + Ld}{4L_2 + 2L_1Ld + 3L_1^2} & 0 & \frac{1}{4L_2 + 2Ld + 3L_1} & 0 & 0 \\ -\frac{1}{4L_2 + 2Ld + 3L_1} & 1 & \frac{2}{4L_2 + 2Ld + 3L_1} & 0 & 0 \\ \frac{-1}{4L_2 + 2Ld + 3L_1} & 0 & \frac{2}{4L_2 + 2Ld + 3L_1} & 0 & 0 \\ \frac{-1}{4L_2 + 2Ld + 3L_1} & 0 & \frac{2}{4L_2 + 2Ld + 3L_1} & -1 & 0 \\ \frac{-1}{4L_2 + 2Ld + 3L_1} & 0 & \frac{2}{4L_2 + 2Ld + 3L_1} & 0 & -1 \end{bmatrix} \begin{bmatrix} e_1 + e_2 - R_1(2y_1 - y_3) \\ 0 \\ e_1 + e_3 - Ed - Rd y_3 - R_1(y_1 + y_3) \\ -2R_2 y_3 \\ 0 \end{bmatrix}$$

$$f_1 = -\frac{R_1}{L_1} y_1 + \frac{(2L_2 R_1 + Ld R_1 - 2L_2 L_1 - Rd L_1)}{4L_2 L_2 + 2L_1 Ld + 3L_1^2} y_3 + \frac{(2L_2 + L_1 + Ld)}{4L_1 L_2 + 2L_1 Ld + 3L_2^2} e_1 + \frac{(2L_2 + L_1 + Ld)}{4L_2 + 2Ld + 3L_1} e_2 + \frac{e_3}{4L_2 + 2Ld + 3L_1} - \frac{Ed}{4L_2 + 2Ld + 3L_1}$$

$$f_2 = f_3 = f_4 = f_5 = -\frac{3R_1 + 4R_2 + 2Rd}{4L_2 + 2Ld + 3L_1} y_3 + \frac{e_1}{4L_2 + 2Ld + 3L_1} - \frac{e_2}{4L_2 + 2Ld + 3L_1} + \frac{2e_3}{4L_2 + 2Ld + 3L_1} - \frac{2Ed}{4L_2 + 2Ld + 3L_1}$$

Pont 1 - Régime 2 ; Pont 2 - Régime 4

$$\begin{bmatrix} f_1 \\ f_2 \\ f_3 \\ f_4 \\ f_5 \end{bmatrix} = \begin{bmatrix} 1 & 0 & \frac{1}{2L_1+Ld} & 0 & \frac{-1}{2L_1+Ld} \\ 0 & 1 & \frac{1}{2L_2+Ld} & 0 & \frac{-1}{2L_2+Ld} \\ 0 & 0 & \frac{1}{2L_2+Ld} & 0 & \frac{-1}{2L_2+Ld} \\ 0 & 0 & \frac{1}{2L_1+Ld} & \frac{2}{3L_2} & \left(\frac{-1}{3L_2} - \frac{1}{2L_1+Ld} \right) \\ 0 & 0 & 0 & \frac{-1}{3L_2} & \frac{2}{3L_2} \end{bmatrix} \begin{bmatrix} 0 \\ 0 \\ e_1 + e_3 - Ed - Rd y_3 - 2R_1 y_3 \\ e_2 + e_4 - R_2 (y_4 + 2y_5 - y_3) \\ e_2 - R_2 (2y_5 + y_4 - y_3) \end{bmatrix}$$

$$f_1 = f_2 = f_3 = - \frac{(Rd + 2R_1)}{2L_1 + Ld} y_3 + \frac{e_1}{2L_1 + Ld}$$

$$f_4 = \left(\frac{R_2}{L_2} - \frac{Rd + 2R_1}{2L_1 + Ld} \right) y_2 - \frac{R_2}{L_2} y_4 + \frac{e_1}{2L_1 + Ld} + \frac{e_3}{3L_2} + \frac{2e_4}{3L_2} - \frac{Ed}{2L_1 + Ld}$$

$$f_5 = - \frac{R_2}{L_2} y_5 + \frac{e_3}{3L_2} - \frac{e_4}{3L_2}$$

Pont 1 - Régime 2 ; Pont 2 - Régime 3

$$f_1 = \begin{bmatrix} i & 0 & \frac{2}{4L_1 + 2Ld + 3L_2} & \frac{-1}{4L_2 + 2Ld + 3L_1} & 0 \\ f_2 & 0 & 1 & \frac{2}{4L_1 + 2Ld + 3L_2} & \frac{-1}{4L_2 + 2Ld + 3L_1} & 0 \\ f_3 & 0 & 0 & \frac{2}{4L_1 + 2Ld + 3L_2} & \frac{-1}{4L_2 + 2Ld + 3L_1} & 0 \\ f_4 & 0 & 0 & \frac{1}{4L_1 + 2Ld + 3L_2} & \frac{2L_1 + L_2 + Ld}{4L_2 + 2Ld + 3L_1} & 0 \\ f_5 & 0 & 0 & \frac{2}{4L_1 + 2Ld + 3L_2} & \frac{-1}{4L_2 + 2Ld + 3L_1} & -1 \end{bmatrix} \begin{bmatrix} 0 \\ 0 \\ e_1 + e_3 - Ed - Rd y_3 - 2R_1 y_3 \\ -R_2 (y_4 + y_3) \\ e_3 + e_4 - R_2 (2y_4 - y_3) \\ 0 \end{bmatrix}$$

$$f_1 = f_2 = f_3 = f_5 = -\frac{4R_1 + 3R_2 + 2Rd}{4L_1 + 2Ld + 3L_2} y_3 + \frac{2e_1}{4L_1 + 2Ld + 3L_2} + \frac{e_3}{4L_1 + 2Ld + 3L_2} - \frac{e_4}{4L_1 + 2Ld + 3L_2} - \frac{2Ed}{4L_1 + 2Ld + 3L_2}$$

$$f_4 = -\frac{2R_1 L_2 + Rd L_2 - 2L_1 R_2 - Ld R_1}{4L_1 L_2 + 2L_2 Ld + 3L_1^2} y_3 - \frac{R_2}{L_2} y_4 + \frac{e_1}{4L_1 + 2Ld + 3L_2} + \frac{2L_1 + L_2 + Ld}{4L_1 L_2 + 2L_2 Ld + 3L_1^2} e_3 + \frac{(2L_1 + L_2 + Ld)}{4L_1 L_2 + 2L_2 Ld + 3L_1^2} e_4 - \frac{Ed}{4L_1 + 2Ld + 3L_2}$$

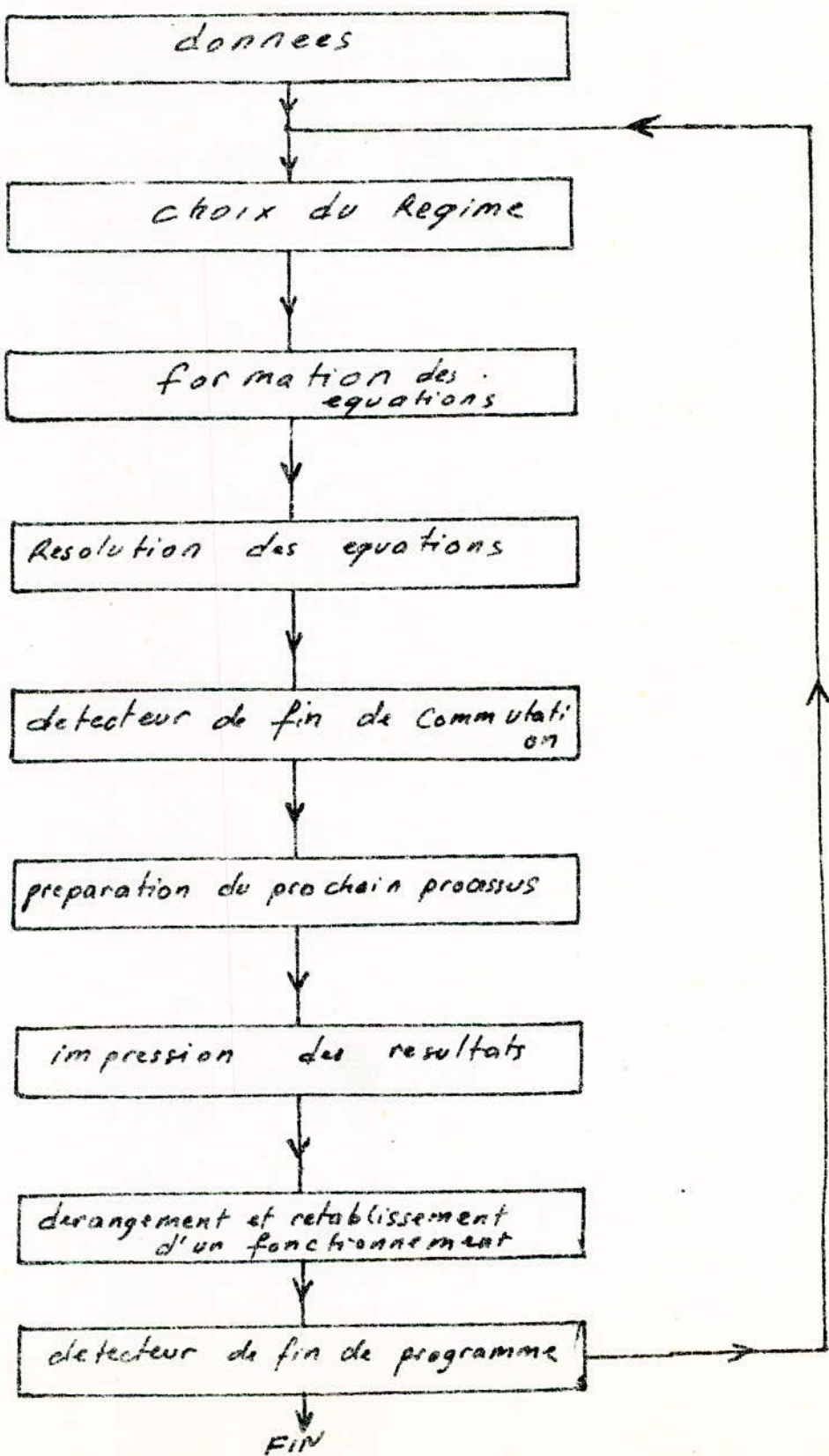
Pont 1 - Regime 2 ; Pont 2 - Regime 2

$$\begin{bmatrix} f_1 \\ f_2 \\ f_3 \\ f_4 \\ f_5 \end{bmatrix} = \begin{bmatrix} 1 & 0 & \frac{1}{2L_1+2L_2+Ld} & 0 & 0 \\ 0 & 1 & \frac{1}{2L_1+2L_2+Ld} & 0 & 0 \\ 0 & 0 & \frac{1}{2L_1+2L_2+Ld} & 0 & 0 \\ 0 & 0 & \frac{1}{2L_1+2L_2+Ld} & -1 & 0 \\ 0 & 0 & \frac{1}{2L_1+2L_2+Ld} & 0 & -1 \end{bmatrix} \begin{bmatrix} 0 \\ 0 \\ e_1 + e_3 - Ed - R_d y_3 - 2R_1 y_3 - 2R_2 y_3 \\ 0 \\ 0 \end{bmatrix}$$

$$f_1 = f_2 = f_3 = f_4 = f_5 = -\frac{(R_d + 2R_1 + 2R_2)}{2L_1 + 2L_2 + Ld} y_3 + \frac{e_1}{2L_1 + 2L_2 + Ld} + \frac{e_3}{2L_1 + 2L_2 + Ld} - \frac{Ed}{2L_1 + 2L_2 + Ld}$$

4 établissement de l'organigramme

- bloc du diagramme :



3.4.3 Explication de l'organigramme :

-données : dans les données on regroupe toutes les valeurs des resistances et des inductances qui entrent dans le calcul. les valeurs des deux alimentations .

les angles de retard ALFA1 et ALFA2 dans les ponts 1 et 2 .

-choix du régime : on doit detecter le régime du pont 1 et le régime du pont 2 . Ceci sera determiner en faisant les tests suivants .

Pont 1 $i_{21} - i_d < 0 \longrightarrow$ régime 4

$i_{21} - i_d = 0$ on a deux possibilités :

a) $i_{11} - i_d < 0 \longrightarrow$ régime 3

b) $i_{11} - i_d = 0 \longrightarrow$ régime 2

Pont 2 $i_{22} - i_d < 0 \longrightarrow$ régime 4

$i_{22} - i_d = 0$ on a deux possibilités :

a) $i_{12} - i_d < 0 \longrightarrow$ régime 3

b) $i_{12} - i_d = 0 \longrightarrow$ régime 2

on determine premierement le régime dans le pont 1 ensuite dans le pont 2 . car les deux régimes sont dépendants . les tests sur L_i ($i=1,2,3\dots\dots,9$) nous evitent de refaire le calcul des coefficients A_{ij} lorsque on fait des calculs consécutifs pour le même régime .

-Resolution des equations .

les equations sont des equations differentielles du premier ordre à coefficients constants de la forme :

$$f_i = (A_{ij}y_j) + A_{i6}e_1 + A_{i7}e_2 + A_{i8}e_3 + A_{i9}e_4 + A_{i10}E_d$$

i et j varient de 1 à 5 .

pour chaque etat de fonctionnement on a des coefficients bien determinés .

avant de resoudre les equations on doit calculer les differentes chutes de tension dans le systeme et dans le primaire des transformateurs .

La resolution des equations est faite par la methode de Range - Kutta (methode itérative d'integration) .

formule de resolution à 4 pas .

$$T_1 = h \cdot f(x_0, y(x_0))$$

$$T_2 = h \cdot f(x_0 + h/2, y(x_0) + T_1/2)$$

$$T_3 = h \cdot f(x_0 + h/2, y(x_0) + T_2/2)$$

$$T_4 = h \cdot f(x_0 + h, y(x_0) + T_3)$$

$$y(x_0 + h) = y(x_0) + (T_1 + 2T_2 + 2T_3 + T_4) / 6$$

-Detection de fin de commutation . On determine la fin de commutation en faisant le test (wt - 3,1416/6)

$wt - 3,14/6 \geq 0 \longrightarrow$ commutation termineé .

$wt - 3,14/6 < 0 \longrightarrow$ commutation non termineé .

Pour ceci on doit faire le test sur la parité de l'intervalle

exp: si N impair on a amorçage 3^{eme} valve dans le pont 2 .

si N pair on a amorçage 3^{eme} valve dans le pont 1 .

-Preparation du processus suivant / .

suivant la parité de l'intervalle on prepare le prochain processus dans le pont 1 ou dans le pont 2 .

Exp: N pair : si $(y_1 - y_3) = 0$ ceci veut dire qu'on est en régime 2 ; donc on doit préparer l'amorçage de la 3^{eme} valve .

Si $(y_1 - y_3) < 0$ on a deux possibilités suivant la valeur de U_{d1} .

Si $U_{d1} > 0$ on est en régime 3 et on garde le même régime .

Si $U_{d1} < 0$ on est en régime 3 on prépare l'amorçage de la 4^{eme} valve .

-Changement des conditions de fonctionnement .

On peut introduire dans le fonctionnement du pont dodecaphasé des dérangements et des retablissements de régimes bien définis à des temps bien déterminés .

Pour ceci on fait les tests suivants : $(t - t_{c1})$ et $(t - t_{c2})$ t_{c1} et t_{c2} sont respectivement les temps de début de dérangement et le début de rétablissement du régime .

Si $t - t_{c1} < 0$ le dérangement n'est pas introduit .

Si $t - t_{c2} \geq 0$ on a rétablissement du régime .

Si $t - t_{c1} \geq 0$ le dérangement a commencé .

-Fin de programme : pour la détection de la fin de programme ; on fait un test sur le temps limite qu'on s'est fixé à l'avance .

3.4.2 Notations employées dans le programme .

$R_s = R_{S1}$

$L_s = S_{T1}$

$R_t = RT$

$L_t = ST$

$R_1 = RT1$

$L_1 = ST1$

$R_2 = RT2$

$L_2 = ST2$

$R_d = RD$

$L_d = SD$

$E_d = ED$

$\alpha_1 = ALFA1$

$\alpha_2 = ALFA2$

$e_{ab1} = E1$

$e_{bc1} = E2$

$e_{ab2} = E3$

$e_{bc2} = E4$

$L_1, L_2 \dots L_9, K_1, K_2 \dots K_4$: indexation des compteurs

N : nombre de processus (entier positif)

Donnés :

$EM = 105KV$

$ED = 190KV$

$ST1 = ST2 = 0,024H$

$RT1 = RT2 = 0,01$

$SS1 = 0,003 H$

$RS1 = 0,001 \Omega$

$ST = 0,006 H$

$RT = 0,005 \Omega$

$SD = 1 H$

$RD = 1 \Omega$

$\pi = 3.14 \text{ rad/s}$

3-5 Exemples d'application de la méthode élaborée .

D'après l'organigramme donné , on peut étudier tous les régimes permanents et transitoires .

On fera chaque éssai de la manière suivante : au début on fonctionne en régime normal , au temps t_{c1} on introduit le changement de régime après au temps t_{c2} on retabli le régime normal jusqu'au temps limite .

Pour vérifier le fonctionnement du programme proposé nous avons fait plusieurs passages , pour différents régimes de fonctionnement du convertisseur .

Quelques exemples sont présentés sur les figures (1,2,3,4) :

La fig 2 représente les formes des tensions redressées des deux ponts en cas de régime permanent pour les paramètres suivants : (alfa1 et alfa2 nuls , $E_d = 180 \text{ kv}$, $R_d = 1$, $L_d = 1$)

La fig 1 représente les formes du courant dans les phases du transformateur T_1 et T_2 ; et les phases du système .

On voit que pour les paramètres indiqués le convertisseur fonctionne en régime normal (4,5 soupapes conduisantes) .

L'angle de commutation est le même pour les deux ponts ($\gamma = 15^\circ$) .

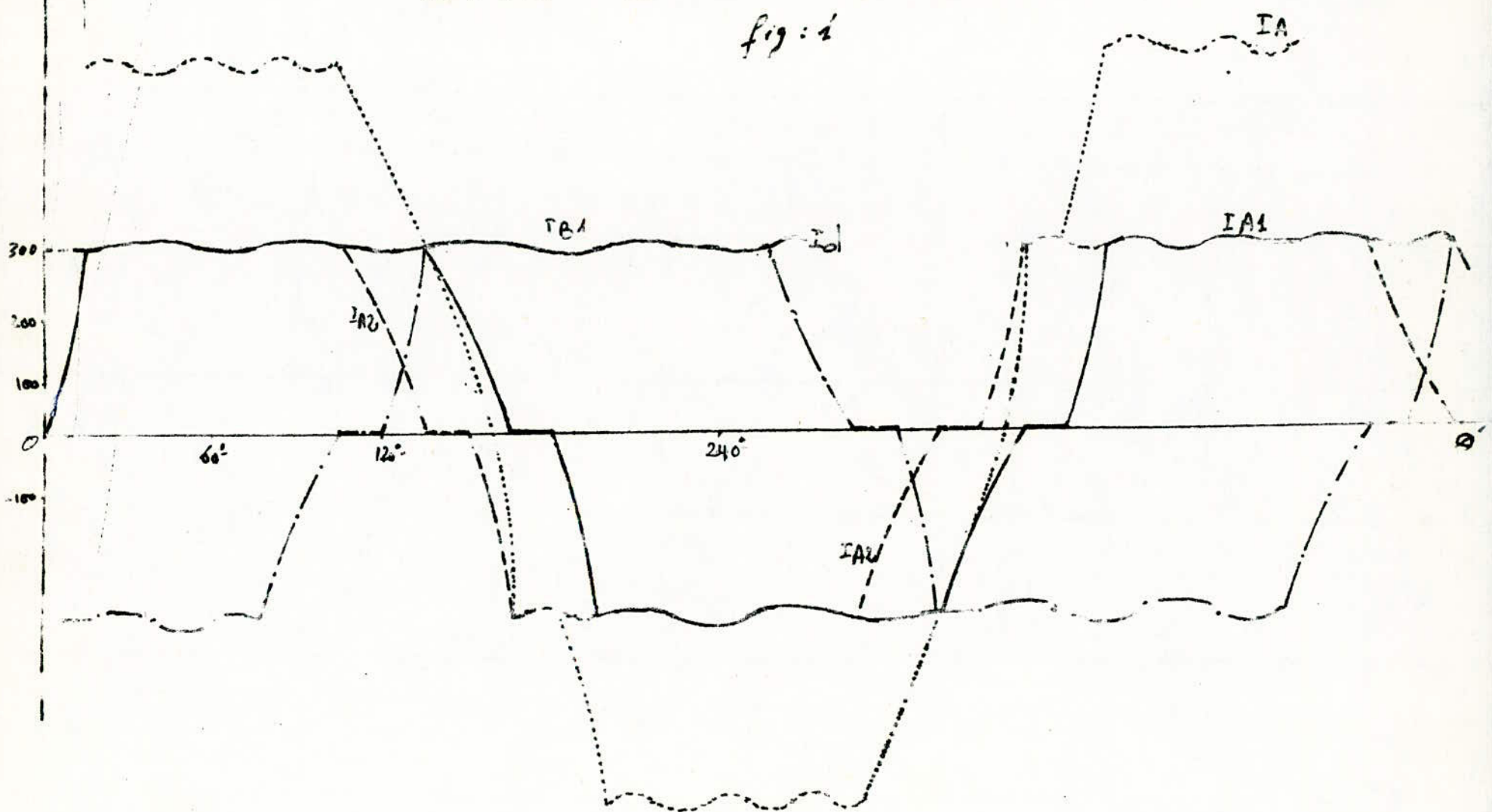
Les deux ponts étant identiques , il n'y a pas d'influence mutuelle entre les commutations qui ont eu lieu à un instant différent .

II (a)

Caractéristiques des courants en régime permanent.

$R_d = 1 \Omega$ $L_d = 1 H$ $E_D = 180 \text{ kV}$.

fig : i



Courbes de tensions en Régime Permanent.

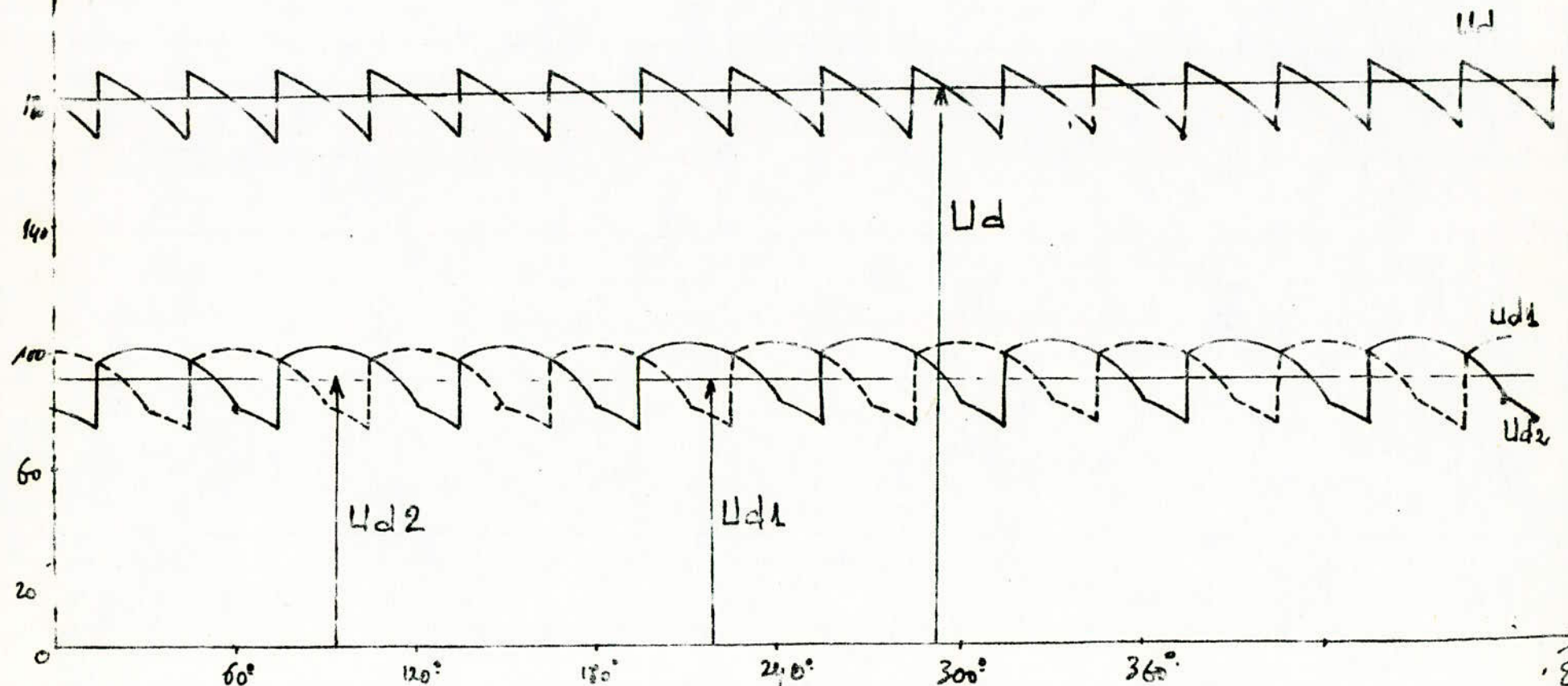
$$R_d = 1 \Omega$$

$$L_d = 1 H$$

$$E_d = 180 \text{ kV}$$

$U_d(t)$

Fig: i.



La courbe des courants primaires des transformateurs est obtenu en supposant même couplage des transformateurs (couplage étoile, étoile) .

Signalons que vue l'inductance importante de lissage ($L_d=1$ Henry), le courant redressé est pratiquement constant.

La fig 3 représente l'exemple d'application du programme proposé pour l'étude de régime transitoire du convertisseur.

À l'instant $t=0$ le convertisseur qui fonctionnait en régime permanent ($I_d=1,3KA$) a été soumis à un dérangement provoqué par une diminution brusque de E_d ($E_d=10KV$).

Le courant redressé commence à augmenter et au bout d'une période il augmente de sa valeur initiale jusqu'à $4KA$.

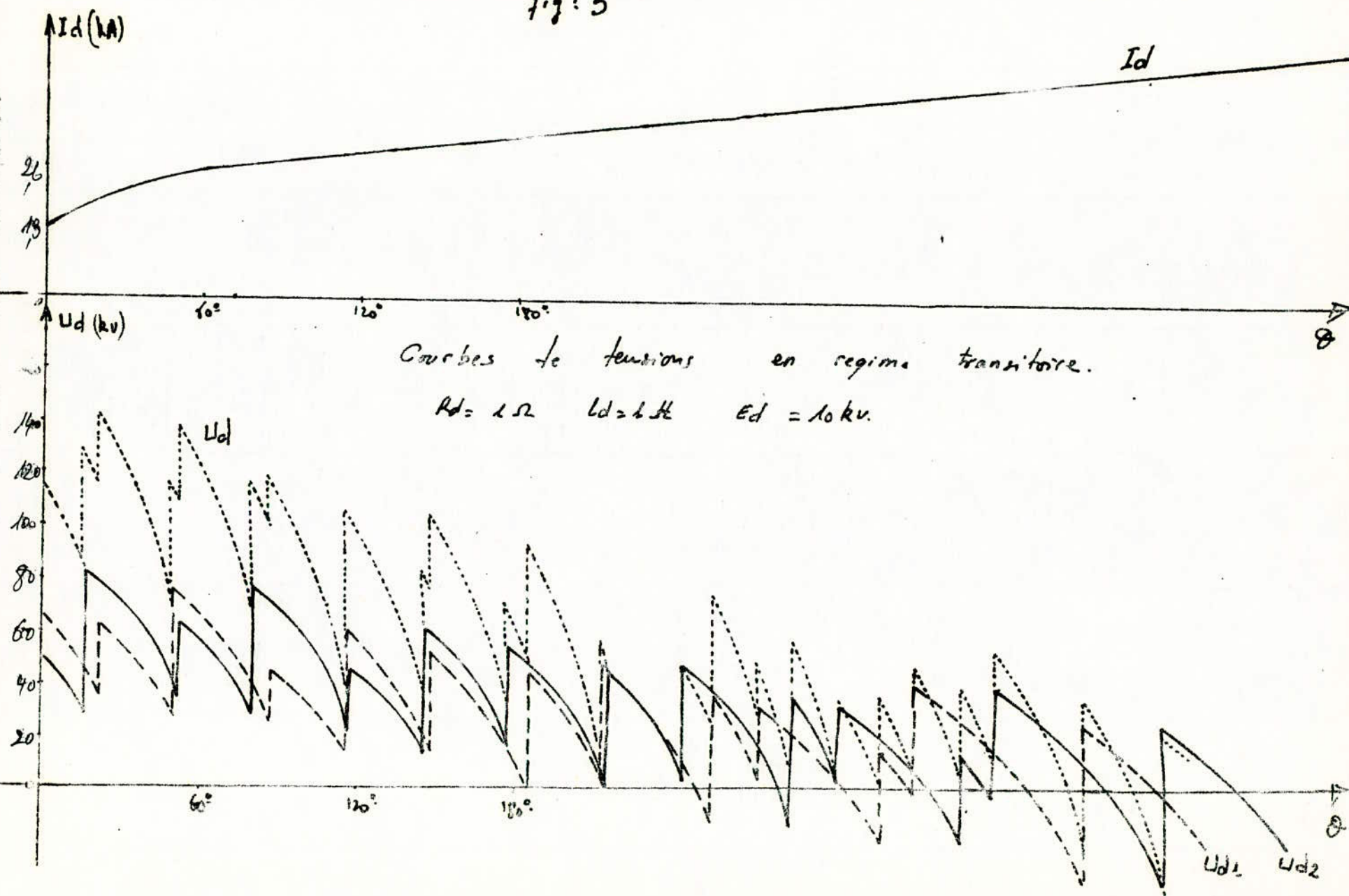
En même temps les tensions redressées diminuent. Les tensions redressées de chaque pont passent par zéro.

La fig 4 représente le fonctionnement non symétrique des deux ponts.

Les autres passages exécutés ont démontré le fonctionnement normal et sûre des différents blocs du programme.

Régime transitoire

fig: 3



Courbes de tensions. Régime permanent.

(les deux ponts ne sont pas symétriques)

$$R_d = 1.2 \quad L_d = 1.4 \quad E_d = 160 \text{ kV} \quad \alpha_1 = 0 \quad \alpha_2 = 30^\circ$$

$U_d(\text{kV})$

200

180

160

140

120

100

80

60

40

20

0

60°

120°

180°

240°

300°

360°

α

U_{d2}

U_{d1}

fig. 4

CONCLUSION

Le domaine d'utilisation des transports par courant continu haute tension s'élargit de plus en plus . Ceci implique le développement des méthodes de calcul et d'analyses du fonctionnement des convertisseurs statiques d'énergie . Notre étude concerne en la simulation mathématique et l'élaboration d'un programme sur calculateur digital d'un redresseur à deux ponts en série qui représente l'élément essentiel d'une station de conversion d'énergie moderne . La méthode mathématique proposée permet de simuler les régimes permanents et transitoires avec n'importe quel nombre de soupapes conduisantes simultanément (4,5,...,8) . Le programme prévoit la possibilité d'étudier le convertisseur à deux ponts différents (différence des paramètres des transformateurs , différence d'angles de commande , ...ect) Les régimes avec l'angle de retard d'amorçage sont prévus , dans ce cas là on a prévu le contrôle de l'angle de retard . Le programme prévoit le calcul et la sortie des paramètres suivants :

- tensions et courants redressés .
- tensions redressées aux bornes de chaque pont .
- courants de tous les thyristors .
- courants de phases de chaque transformateur .
- courants de phases du système d'alimentation .

Le programme est écrit en langage fortran IV et exécuté sur ordinateur IBM 1070 au centre d'étude et recherche en informatique .

Le temps de calcul pour 0,6 seconde avec sortie de tous les parametres tous les 6° electrique est de 4 mn environ ..

Ce programme peut etre complété par la simulation du systeme de commande plus complet .

ANNEXE I

PROGRAMME - FORTRAN IV

!JOB, T POLYTECH,:POL,MOUGHARI,15

!LIMIT (CORE,50),(TIME,10),(PAGE,100)

?FORTRAN SI,LS,GO

C PROJET DE FIN D'ETUDES

C PROMOTEUR MONSIEUR STRIAPAN

C PROJET ETUDIE PAR MOUGHARI

C SIMULATION D'UN PONT DODECAPHASE EN REDRESSEURS

READ(2,201) RS1,SS1,RT,ST,RT1,ST1,RT2,ST2,RD,SD

READ(2,202) EM,ED,W

201 FORMAT(8(F5.3),2(F3.1))

202 FORMAT(3(F5.1))

C CONDITIONS INITIALES

L1=1.

L2=1.

L3=1.

L4=1.

L5=1.

L6=1.

L7=1.

L8=1.

L9=1.

N=1.

K1=1.

K2=1.

K3=1.

K4=1.

M=1.

Y1=0.

Y2=0.

Y3=0.

Y4=0.

Y5=0.

T=0.

H=0.000112

```

ALFA1=0.
ALFA2=0.
TC1=0.1
TC2=0.1
TLIM=0.1
DY1=0.
DY2=0.
DY3=0.
DY4=0.
DY5=0.
A=1.
HR=W*H
TR=W*T
SG=SS1+ST
RG=RT+RS1
WRITE(3,204) RS1,SS1,RT,ST,RT1,ST1,RT2
204 FORMAT(2X,'RS1=',F6.3,1X,'SS1=',F6.3,1X,'RT=',F6.3,1X,'ST=',
F6.3,1X,'RT1=',F6.3,1X,'ST1=',F6.3,1X,'SD//','RT2=',F6.3)
WRITE(3,199) ST2,RD,SD,ALFA1,ALFA2
199 FORMAT(2X,'ST2=',F6.3,1X,'RD=',F4.1,1X,'SD=',F4.1,1X,'ALFA1='
,F4.1,1X,'ALFA2=',F4.1)
WRITE(3,205) EM,ED
WRITE(3,510)
205 FORMAT(10X,'EM=',F6.1,4X,'ED=',F6.1)
510 FORMAT(14X,'T',7X,'I11',5X,'I21',5X,'ID',6X,'I12',5X,'I22',
5X,'EM',6X,'ED',5X,'TEL')
C TEST DONNANT LE REGIME DU PONT1 ET DU PONT2
75 TEL=T*180./0.01
IF(Y2-Y3) 10,11,11
10 A=1.
L4=1.
L5=1.
L6=1.
L7=1.
L8=1.
L9=1.
IF(L1-1.) 14,15,14
IF(Y5-Y3) 12,13,13
12 A=1.
IF(L1-1.) 14,15,14
14 L2=1.
L3=1.
GOTO 600
15 L1=5.
L2=1.
L3=1.
C PONT1 REGIME4 PONT2 REGIME4
A11=-H*RT1/ST1
A12=0.
A13=H*(RT1/ST1-RD/SD)
A14=0.
A15=0.
A16=H/(3.*ST1)
A17=2;.*A16
A18=0.
A19=0.

```

```

A110=-H/SD
A21=0.
A22=A11
A23=0.
A24=0.
A25=0.
A26=A16
A27=-A16
A28=0.
A29=0.
A210=0.
A31=0.
A32=0.
A33=-H*RD/SD
A34=0.
A35=0.
A36=0.
A37=0.
A38=0.
A39=0.
A310=A110
A41=0.
A42=0.
A43=-H*RT2/ST2
A44=A43
A45=0.
A46=0.
A47=0.
A48=H/(3.*ST2)
A49=2.*A48
A410=A310
A51=0.
A52=0.
A53=0.
A54=0.
A55=A44
A56=0.
A57=0.
A58=A48
A59=-A48
A510=0.
WRITE(3,90) T,TEL
90 FORMAT(10X,'T=',F8.5,3X,'REGIME 8 THYRISTORS,P1-4,P2-4',
      3X,'TEL=',F7.1)
      GOTO 600
13 Y5=Y3
L1=1.
H IF(Y4-Y3) 16,17,17
16 A=1.
IF(L2-1.) 18,19,18
18 L3=1.
GOTO 600
19 L2=5.
L1=1.
L3=1.
C PONT1 REGIME4 PONT2 REGIME3

```

```

DEN=(3.*ST2+2.*SD)
A11=-H*RT1/ST1
A12=0.
A13=H*(RT1/ST1-(3.*RT2+RD)/DEN)
A14=0.
A15=0.
A16=H/(3.*ST1)
A17=2.*A16
A18=H/DEN
A19=-A18
A110=2.*A19
A21=0.
A22=A11
A23=0.
A24=0.
A25=0.
A26=A16
A27=-A16
A28=0.
A29=0.
A210=0.
A31=0.
A32=0.
A33=-H*(3.*RT2+2.*RD)/DEN
A34=0.
A35=0.
A36=0.
A37=0.
A38=A18
A39=A19
A310=A110
A41=0.
A42=0.
A43=H*(RT2*SD-RD*ST2)/(ST2*DEN)
A44=-H*RT2/ST2
A45=0.
A46=0.
A47=0.
A48=H*(2.*ST2+SD)/(ST2*DEN)
A49=H*(ST2+SD)/(ST2*DEN)
A410=A310/2.
A51=0.
A52=0.
A53=A33
A54=0.
A55=0.
A56=0.
A57=0.
A58=A38
A59=A39
A510=A310
91 WRITE(3,91) T; TEL
      FORMAT(10X,'T=',F8.5,3X,'REGIME 7 THYRISTORS,P1-4,P2-3',3X,
      'TEL=',F7.1)
      GOTO 600
17 Y4=Y3

```

IF(L3=1.) 20,21,20
20 L2=1.
GOTO 600
21 L3=5.
L2=1.
L1=1.
C PONT 1 REGIME 4 , PONT 2 REGIME2
DEN=(2.*ST2+SD)
 $\Lambda 11 = -H*RT1/ST1$
 $\Lambda 12 = 0.$
 $\Lambda 13 = H*(RT1/ST1 - (RD + 2.*RT2)/DEN)$
 $\Lambda 14 = 0.$
 $\Lambda 15 = 0.$
 $\Lambda 16 = H/3.*ST1$ ST+
 $\Lambda 17 = 2.*\Lambda 16$
 $\Lambda 18 = H/DEN$
 $\Lambda 19 = 0.$
 $\Lambda 110 = -\Lambda 18$
 $\Lambda 21 = 0.$
 $\Lambda 22 = \Lambda 11$
 $\Lambda 23 = 0.$
 $\Lambda 24 = 0.$
 $\Lambda 25 = 0.$
 $\Lambda 26 = \Lambda 16$
 $\Lambda 27 = -\Lambda 16$
 $\Lambda 28 = 0.$
 $\Lambda 29 = 0.$
 $\Lambda 210 = 0.$
 $\Lambda 31 = 0.$
 $\Lambda 32 = 0.$
 $\Lambda 33 = -H*(RD + 2.*RT2)/DEN$
 $\Lambda 34 = 0.$
 $\Lambda 35 = 0.$
 $\Lambda 36 = 0.$
 $\Lambda 37 = 0.$
 $\Lambda 38 = H/DEN$
 $\Lambda 39 = 0.$
 $\Lambda 310 = 0.$
 $\Lambda 41 = 0.$
 $\Lambda 42 = 0.$
 $\Lambda 43 = \Lambda 33$
 $\Lambda 44 = 0.$
 $\Lambda 45 = 0.$
 $\Lambda 46 = 0.$
 $\Lambda 47 = 0.$
 $\Lambda 48 = \Lambda 38$
 $\Lambda 49 = 0.$
 $\Lambda 410 = 0.$
 $\Lambda 51 = 0.$
 $\Lambda 52 = 0.$
 $\Lambda 53 = \Lambda 33$
 $\Lambda 54 = 0.$
 $\Lambda 55 = 0.$
 $\Lambda 56 = 0.$
 $\Lambda 57 = 0.$
 $\Lambda 58 = \Lambda 38$
 $\Lambda 59 = 0.$
 $\Lambda 510 = 0.$
WRITE (3,92) T , TEL

```

92 FORMAT(10X,'T=',F8.5,3X,'REGIME 6 THYRISTORS, P 1-4 , P 2-2 '
,3X,'TEL=',F7.1)
GOTO 600
11 Y2=Y3
L1=1.
L2=1.
L3=1.
IF(Y1-Y3) 22,23,23
22 L=1.
L7=1.
L8=1.
L9=1.
IF(Y5-Y3) 24,25,25
24 L=1.
IF(L4-1.) 26,27,26
26 L5=1.
L6=1.
GOTO 600
27 L4=5.
L5=1.
L6=1.
C PONT 1 REGIME 3 , PONT 2 REGIME 4
DEN=(3.*ST1+2.*SD)
A11=-H*RT1/ST1
A12=0.
A13=H*(RT1*SD-RD*ST1)/(ST1*DEN)
A14=0.
A15=0.
A16=H*(2.*ST1+SD)/(ST1*DEN)
A17=H*(ST1+SD)/(ST1*DEN)
A18=0?
A19=0.
A110=-H/DEN
A21=0.
A22=0.
A23=-H*(3.*RT1+2.*RD)/DEN
A24=0.
A25=0.
A26=H/DEN
A27=-A26
A28=0.
A29=0.
A210=2.*A27
A31=0.
A32=0.
A33=A23
A34=0.
A35=0.
A36=A26
A37=A27
A38=0.
A39=0.
A310=A210
A41=0.
A42=0.
A43=H*(RT2/ST2-(3.*RT1+2.*RD)/DEN)
A44=-H*RT2/ST2
A45=0.

```

```

A46=A36
A47=A37
A48=H/(3.*ST2)
A49=2.*A48
A410=A310
A51=0.
A52=0.
A53=0.
A54=0.
A55=A44
A56=0.
A57=0.
A58=A48
A59=-A58
A510=C.
WRITE (3,93) T , TEL
93 FORMAT(10X,'T=',F8.5,3X,'REGIME 7 THYRISTORS , P 1-3 , P2-4',
3X,'TEL=',F7.1)
GOTO 600
25 Y5=Y3
L4=1.
IF(Y4-Y3) 28,29,29
28 A=1.
IF(L5-1.) 30,31,30
30 L6=1.
GOTO 600
31 L5=5.
L4=1.
L6=1.
C PONT 1 REGIME 3 , PONT 2 REGIME3
DEN=(6.*ST2+6.*ST1+4.*SD)
A11=-H*RT1/ST1
A12=0.
A13=-H*(-3.*ST2*RT1/ST1-2.*SD*RT1/ST1+3.*RT2+2.*RD)/DEN
A14=0.
A15=0.
A16=H*(3.*ST2+4.*ST1+2.*SD)/(ST1*DEN)
A17=H*(3.*ST2+2.*ST1+2.*SD)/(ST1*DEN)
A18=H/DEN
A19=-A18
A110=2.*A19
A21=0.
A22=0.
A23=-H*(6.*RT1+6.*RT2+4.*RD)/DEN
A24=0.
A25=0.
A26=2.*H/DEN
A27=-A26
A28=A26
A29=A27
A210=2.*A27
A31=0.
A32=0.
A33=A23
A34=0.
A35=0.
A36=A26
A37=A27
A38=A28

```

$\Lambda_{39}=\Lambda_{29}$
 $\Lambda_{310}=\Lambda_{210}$
 $\Lambda_{41}=0.$
 $\Lambda_{42}=0.$
 $\Lambda_{43}=H*(3.*RT2*ST1+2.*RT2*SD-3.*RT1*ST2-2.*RD*ST2)/(ST2*DEN)$
 $\Lambda_{44}=-H*RT2/ST2$
 $\Lambda_{45}=0.$
 $\Lambda_{46}=H/DEN$
 $\Lambda_{47}=-\Lambda_{46}$
 $\Lambda_{48}=H*(4.*ST2+3.*ST1+2.*SD)/(ST2*DEN)$
 $\Lambda_{49}=H*(3.*ST1+2.*SD+2.*ST2)/(ST2*DEN)$
 $\Lambda_{410}=-2.*H/DEN$
 $\Lambda_{51}=0.$
 $\Lambda_{52}=0.$
 $\Lambda_{53}=\Lambda_{33}$
 $\Lambda_{54}=0.$
 $\Lambda_{55}=0.$
 $\Lambda_{56}=\Lambda_{36}$
 $\Lambda_{57}=\Lambda_{37}$
 $\Lambda_{58}=\Lambda_{38}$
 $\Lambda_{59}=\Lambda_{39}$
 $\Lambda_{510}=\Lambda_{310}$
 $WRITE(3,94) T, TEL$
94 FORMAT(10X,'T=',F8.5,'REGIME 6 THYRISTORS,P 1-3,P 2-3',3X,
'TEL=',F7.1)
GOTO 600
29 Y4=Y3
IF(L6-1.) 32,33,32
32 L5=1.
GOTO 600
33 L6=5.
L5=1.
L4=1.
C PONT 1 REGIME 3 , PONT 2 REGIME 2
DEN=(4.*ST2+2.*SD+3.*ST1)
 $\Lambda_{11}=-H*RT1/ST1$
 $\Lambda_{12}=0.$
 $\Lambda_{13}=H*(2.*ST2*RT1+SD*RT1-2.*RT2*ST1-RD*ST1)/(ST1*DEN)$
 $\Lambda_{14}=0.$
 $\Lambda_{15}=0.$
 $\Lambda_{16}=H*(2.*ST2+2.*ST1+SD)/(ST1*DEN)$
 $\Lambda_{17}=H*(2.*ST2+ST1+SD)/(ST1*DEN)$
 $\Lambda_{18}=H/DEN$
 $\Lambda_{19}=0.$
 $\Lambda_{110}=-\Lambda_{18}$
 $\Lambda_{21}=0.$
 $\Lambda_{22}=0.$
 $\Lambda_{23}=-H*(3.*RT1+4.*RT2+2.*RD)/DEN$
 $\Lambda_{24}=0.$
 $\Lambda_{25}=0.$
 $\Lambda_{26}=H/DEN$
 $\Lambda_{27}=-\Lambda_{26}$
 $\Lambda_{28}=2.*\Lambda_{26}$
 $\Lambda_{29}=0.$
 $\Lambda_{210}=2.*\Lambda_{27}$
 $\Lambda_{31}=0.$
 $\Lambda_{32}=0.$
 $\Lambda_{33}=\Lambda_{23}$
 $\Lambda_{34}=0.$

```

A35=0.
A36=A26
A37=A27
A38=A28
A39=0.
A310=A210
A41=0.
A42=0.
A43=A33
A44=0.
A45=0.
A46=A36
A47=A37
A48=A38
A49=0.
A410=A310
A51=0.
A52=0.
A53=A43
A54=0.
A55=0.
A56=A46
A57=A47
A58=A48
A59=0.
A510=0/ A410
WRITE(3,95) T , TEL
95 FORMAT(10X,'T=',F8.5,3X,'REGIME 5 THYRISTORS,P 1-3,P 2-2';
3X,'TEL=',F7.1)
GOTO 600
23 Y1=Y3
IF(Y5-Y3) 34,35,35
34 A=1.
IF(L7-1.) 36,37,36
36 L8=1.
L9=1.
GOTO 600
37 L7=5.
L8=1.
L9=1.
C PONT 1 REGIME 2 , PONT 2 REGIME 4
A11=0.
A12=0.
A13=-H*(RD+2.*RT1)/DEN
A14=0.
A15=0.
A16=H/DEN
A17=0.
A18=0.
A19=0.
A110=0.
A21=0.
A22=0.
A23=A13
A24=0.
A25=0.
A26=A16
A27=0?
A28=0.

```

A29=0.
A210=0.
A31=0.
A32=0.
A33=A23
A34=0.
A35=0.
A36=A26
A37=0.
A38=0.
A39=0.
A310=0.
A41=0.
A42=0.
A43=H*(RT2/ST2)+A33
A44=-H*RT2/ST2
A45=0.
A46=H/DEN
A47=0.
A48=H/(3.*ST2)
A49=-2.*A48
A410=-H/DEN
A51=0.
A52=0.
A53=0.
A54=0.
A55=A44
A56=0.
A57=0.
A58=-A48
A59=A48
A510=0.

WRITE (3, 96) T , TEL
96 FORMAT(10X,'T=',F8.5,3X,'REGIME 6 THYRISTORS, P +2 ,
P 2-4',3X,'TEL=',F7.1)
GOTO 600
35 Y5=Y3
L7=1.
IF(Y4-Y3) 38,39,39
38 A=1.
IF(L8-1.) 40,41,40
40 L9=1/
GOTO 600
41 L8=5.
L L7=1.
L9=1.
C PONT 1 REGIME 2 , PONT 2 REGIME 3
DEN=(4.*ST1+3.*BT2+2.*SD)
A11=0.
A12=0.
A13=-H*(4.*RT1+3.*RT2+2.*RD)/DEN
A14=0.
A15=0.
A16=2.*H/DEN
A17=0.
A18=A16/2.
A19=-A18
A110=-A16

A21=0.
 A22=0.
 A23=A13
 A24=0.
 A25=0.
 A26=A16
 A27=0.
 A28=A18
 A29=A19
 A210=A110
 A31=0.
 A32=0.
 A33=A23
 A34=0.
 A35=0.
 A36=A26
 A37=0.
 A38=A28
 A39=A29
 A310=A210
 A41=0.
 A42=0.
 A43=H*(2.*RT2*ST1+SD*RT2-2.*RT1*ST2-RD*ST2)/(ST2*DEN)
 A44=-H*RT2/ST2
 A45=0.
 A46=H/DEN
 A47=0.
 A48=H*(2.*ST1+2.*ST2+SD)/(ST2*DEN)
 A49=H*(2.*ST1+ST2+SD)/(ST2*DEN)
 A410=-A46
 A51=0.
 A52=0.
 A53=A33
 A54=0.
 A55=0.
 A56=A36
 A57=0.
 A58=A38
 A59=A39
 A510=A310
 WRITE (3,97) T , TEL
 97 FORMAT(10X,'T=',F8.5,3X,'REGIME 5 THYRISTORS,P 1-2,P 2-3',
 3X,'TEL=',F7.1)
 GOTO 600
 39 Y4=Y3
 IF(L9-1.) 42,43,42
 42 L8=1.
 GOTO 600
 43 L9=5.
 L8=1.
 L7=1.
 C PONT 1 REGIME 2 , PONT 2 REGIME 2
 DEN=(2.*ST1+2.*ST2+SD)
 A11=0.
 A12=0.
 A13=-H*(RD+2.*RT1+2.*RT2)/DEN
 A14=0.
 A15=0.
 A16=H/DEN

A17=0.
A18=A16
A19=0.
A110=-A18

A21=0.
A22=0.
A23=A13
A24=0.
A25=0.
A26=A16
A27=0.
A28=A26
A29=0.

A210=-A28
A31=0.
A32=0.
A33=A23
A34=0.
A35=0.
A36=A26
A37=0.
A38=A36
A39=0.

A310=-A38
A41=0.
A42=0.
A43=A33
A44=0.
A45=0.
A46=A36
A47=0.
A48=A38
A49=0.
A410=-A48
A51=0.
A52=0.
A53=A43
A54=0.
A55=0.
A56=A46
A57=0.
A58=A56
A59=0.
A510=-A58

WRITE(3,98) T, TEL

98 FORMAT(10X,'T=',F8.5,3X,'REGIME 4 THYRISTORS,P1-2 , P2-2',
3X,'TEL=',F7.2)

GOTO 600

C CALCUL DE DU1, DU2, DU3, DU4

600 DU2=SG*(-DY1+DY2+2.*DY3-DY4+DY5)+RG*(-Y1+Y2+2.*Y3-Y4+Y5)
DU1=SG*(-DY1-2.*DY2+2.*DY3-DY4-2.*DY5)+RG*(-Y1-2.*Y2
1+2.*Y3-Y4-2.*Y5)
DU3=SG*(-DY1-2.*DY2+DY4-DY5)+RG*(-Y1-2.*Y2+Y4-Y5)
DY4= SG*(-DY1+DY2+3.*DY3-2.*DY4-DY5)+rg*(-Y1+Y2+3.*Y3-
12.*Y4-Y5)

$\text{ARG1} = \text{TR} + 1, 047 + \Delta L F A 1 * 3, 14 / 180.$
 $\text{ARG2} = \text{TR} - 1, 047 + \Delta L F A 1 * 3, 14 / 180.$
 $\text{ARG3} = \text{TR} + 1, 57 + \Delta L F A 2 * 3, 14 / 180.$
 $\text{ARG4} = \text{TR} - 0, 523 + \Delta L F A 2 * 3, 14 / 180.$
 $JL = (N+1)/2$
 $\text{IF}(N-(2*JL)) \quad 44, 45, 44$

44 $G1 = \text{ARG1}$
 $G2 = \text{ARG2}$
 $G3 = \text{ARG3}$
 $G4 = \text{ARG4}$
 $DE1 = DU1$
 $DE2 = DU2$
 $DE3 = DU1$
 $DE4 = DU2$
 $\text{GO TO } 700$

45 $G1 = \text{ARG3}$
 $G2 = \text{ARG4}$
 $G3 = \text{ARG1}$
 $G4 = \text{ARG2}$
 $DE1 = DU3$
 $DE2 = DU4$
 $DE3 = DU3 + DU4$
 $DE4 = -DU3$

700 $A = 1.$

C RESOLUTION DES EQUATIONS
C PREMIERS COEFFICIENTS DE R. KUTTA
 $S11 = \Delta 11 * Y1 + \Delta 12 * Y2 + \Delta 13 * Y3 + \Delta 14 * Y4 + \Delta 15 * Y5 + \Delta 16 * (\text{EM} * \text{SIN}(G1) + DE1)$
 $+ \Delta 17 * (\text{EM} * \text{SIN}(G2) + DE2) + \Delta 18 * (\text{EM} * \text{SIN}(G3) + DE3) + \Delta 19 * (\text{EM} * \text{SIN}(G4) + DE4)$
 $+ \Delta 110 * ED$
 $S12 = \Delta 21 * Y1 + \Delta 22 * Y2 + \Delta 23 * Y3 + \Delta 24 * Y4 + \Delta 25 * Y5 + \Delta 26 * (\text{EM} * \text{SIN}(G2) + DE1)$
 $+ \Delta 27 * (\text{EM} * \text{SIN}(G2) + DE2) + \Delta 28 * (\text{EM} * \text{SIN}(G3) + DE3) + \Delta 29 * (\text{EM} * \text{SIN}(G4) + DE4)$
 $+ \Delta 210 * ED$
 $S13 = \Delta 31 * Y1 + \Delta 32 * Y2 + \Delta 33 * Y3 + \Delta 34 * Y4 + \Delta 35 * Y5 + \Delta 36 * (\text{EM} * \text{SIN}(G1) + DE1)$
 $+ \Delta 37 * (\text{EM} * \text{SIN}(G2) + DE2) + \Delta 38 * (\text{EM} * \text{SIN}(G3) + DE3) + \Delta 39 * (\text{EM} * \text{SIN}(G4) + DE4)$
 $+ \Delta 310 * ED$
 $S14 = \Delta 41 * Y1 + \Delta 42 * Y2 + \Delta 43 * Y3 + \Delta 44 * Y4 + \Delta 45 * Y5 + \Delta 46 * (\text{EM} * \text{SIN}(G1) + DE1)$
 $+ \Delta 47 * (\text{EM} * \text{SIN}(G2) + DE2) + \Delta 48 * (\text{EM} * \text{SIN}(G3) + DE3) + \Delta 49 * (\text{EM} * \text{SIN}(G4) + DE4)$
 $+ \Delta 410 * ED$
 $S15 = \Delta 51 * Y1 + \Delta 52 * Y2 + \Delta 53 * Y3 + \Delta 54 * Y4 + \Delta 55 * Y5 + \Delta 56 * (\text{EM} * \text{SIN}(G1) + DE1)$
 $+ \Delta 57 * (\text{EM} * \text{SIN}(G2) + DE2) + \Delta 58 * (\text{EM} * \text{SIN}(G3) + DE3) + \Delta 59 * (\text{EM} * \text{SIN}(G4) + DE4)$
 $+ \Delta 510 * ED$
C DEUXIEMES COEFFICIENTS DE R. KUTTA
 $S21 = \Delta 11 * (Y1 + S11/2.) + \Delta 12 * (Y2 + S12/2.) + \Delta 13 * (Y3 + S13/2.) + \Delta 14 * (Y4 + S14/2.) + \Delta 15 * (Y5 + S15/2.) + \Delta 16 * (\text{EM} * \text{SIN}(G1 + HR/2.) + DE1) + \Delta 17 * (\text{EM} * \text{SIN}(G2 + 2HR/2.) + DE2) + \Delta 18 * (\text{EM} * \text{SIN}(G3 + HR/2.) + DE3) + \Delta 19 * (\text{EM} * \text{SIN}(G4 + HR/2.) + DE4)$
 $+ \Delta 110 * ED$
 $S22 = \Delta 21 * (Y1 + S11/2.) + \Delta 22 * (Y2 + S12/2.) + \Delta 23 * (Y3 + S13/2.) + \Delta 24 * (Y4 + S14/2.) + \Delta 25 * (Y5 + S15/2.) + \Delta 26 * (\text{EM} * \text{SIN}(G1 + HR/22) + DE1) + \Delta 27 * (\text{EM} * \text{SIN}(G2 + 2HR/22) + DE2) + \Delta 28 * (\text{EM} * \text{SIN}(G3 + HR/22) + DE3) + \Delta 29 * (\text{EM} * \text{SIN}(G4 + HR/22) + DE4)$
 $+ \Delta 210 * ED$
 $S23 = \Delta 31 * (Y1 + S11/2.) + \Delta 32 * (Y2 + S12/2.) + \Delta 33 * (Y3 + S13/2.) + \Delta 34 * (Y4 + S14/2.) + \Delta 35 * (Y5 + S15/2.) + \Delta 36 * (\text{EM} * \text{SIN}(G1 + HR/2.) + DE1) + \Delta 37 * (\text{EM} * \text{SIN}(G2 + 2HR/2.) + DE2) + \Delta 38 * (\text{EM} * \text{SIN}(G3 + HR/2.) + DE3) + \Delta 39 * (\text{EM} * \text{SIN}(G4 + HR/2.) + DE4)$
 $+ \Delta 310 * ED$
 $S24 = \Delta 41 * (Y1 + S11/2.) + \Delta 42 * (Y2 + S12/2.) + \Delta 43 * (Y3 + S13/2.) + \Delta 44 * (Y4 + S14/22.) + \Delta 45 * (Y5 + S15/2.) + \Delta 46 * (\text{EM} * \text{SIN}(G1 + HR/2.) + DE1) + \Delta 47 * (\text{EM} * \text{SIN}(G2 + 2HR/22) + DE2) + \Delta 48 * (\text{EM} * \text{SIN}(G3 + HR/2.) + DE3) + \Delta 49 * (\text{EM} * \text{SIN}(G4 + HR/2.) + DE4)$
 $+ \Delta 410 * ED$

$$S25 = A51 \cdot (Y1 + S11/2.) + A52 \cdot (Y2 + S12/2.) + A53 \cdot (Y3 + S13/2.) + A54 \cdot (Y4 + S14/2.) + A55 \cdot (Y5 + S15/2.) + A56 \cdot (\text{EMHSIN}(G1 + HR/2.) + DE1) + A57 \cdot (\text{EMHSIN}(G2 + 2HR/2.) + DE2) + A58 \cdot (\text{EMHSIN}(G3 + HR/2.) + DE3) + A59 \cdot (\text{EMHSIN}(G4 + HR/2.) + DE34) + A510 \cdot \text{ED}$$

C TROISIEMES COEFFICIENTS DE RANGE KUTTA

$$S31 = A11 \cdot (Y1 + S21/2.) + A12 \cdot (Y2 + S22/2.) + A13 \cdot (Y3 + S23/2.) + A14 \cdot (Y4 + S24/2.) + A15 \cdot (Y5 + S25/2.) + A16 \cdot (\text{EMHSIN}(G1 + HR/2.) + DE1) + A17 \cdot (\text{EMHSIN}(G2 + 2HR/2.) + DE2) + A18 \cdot (\text{EMHSIN}(G3 + HR/2.) + DE3) + A19 \cdot (\text{EMHSIN}(G4 + HR/2.) + DE34) + A110 \cdot \text{ED}$$

$$S32 = A21 \cdot (Y1 + S21/2.) + A22 \cdot (Y2 + S22/2.) + A23 \cdot (Y3 + S23/2.) + A24 \cdot (Y4 + S24/2.) + A25 \cdot (Y5 + S25/2.) + A26 \cdot (\text{EMHSIN}(G1 + HR/2.) + DE1) + A27 \cdot (\text{EMHSIN}(G2 + 2HR/2.) + DE2) + A28 \cdot (\text{EMHSIN}(G3 + HR/2.) + DE3) + A29 \cdot (\text{EMHSIN}(G4 + HR/2.) + DE34) + A210 \cdot \text{ED}$$

$$S33 = A31 \cdot (Y1 + S21/2.) + A32 \cdot (Y2 + S22/2.) + A33 \cdot (Y3 + S23/2.) + A34 \cdot (Y4 + S24/2.) + A35 \cdot (Y5 + S25/2.) + A36 \cdot (\text{EMHSIN}(G1 + HR/2.) + DE1) + A37 \cdot (\text{EMHSIN}(G2 + 2HR/2.) + DE2) + A38 \cdot (\text{EMHSIN}(G3 + HR/2.) + DE3) + A39 \cdot (\text{EMHSIN}(G4 + HR/2.) + DE34) + A310 \cdot \text{ED}$$

$$S34 = A41 \cdot (Y1 + S21/2.) + A42 \cdot (Y2 + S22/2.) + A43 \cdot (Y3 + S23/2.) + A44 \cdot (Y4 + S24/2.) + A45 \cdot (Y5 + S25/2.) + A46 \cdot (\text{EMHSIN}(G1 + HR/2.) + DE1) + A47 \cdot (\text{EMHSIN}(G2 + 2HR/2.) + DE2) + A48 \cdot (\text{EMHSIN}(G3 + HR/2.) + DE3) + A49 \cdot (\text{EMHSIN}(G4 + HR/2.) + DE4) + A410 \cdot \text{ED}$$

$$S35 = A51 \cdot (Y1 + S21/2.) + A52 \cdot (Y2 + S22/2.) + A53 \cdot (Y3 + S23/2.) + A54 \cdot (Y4 + S24/2.) + A55 \cdot (Y5 + S25/2.) + A56 \cdot (\text{EMHSIN}(G1 + HR/2.) + DE1) + A57 \cdot (\text{EMHSIN}(G2 + 2HR/2.) + DE2) + A58 \cdot (\text{EMHSIN}(G3 + HR/2.) + DE3) + A59 \cdot (\text{EMHSIN}(G4 + HR/2.) + 3DE4) + A510 \cdot \text{ED}$$

C QUATRIEMES COEFFICIENTS DE RANGE KUTTA

$$S41 = A11 \cdot (Y1 + S31) + A12 \cdot (Y2 + S32) + A13 \cdot (Y3 + S33) + A14 \cdot (Y4 + S34) + A15 \cdot (Y5 + S35) + A16 \cdot (\text{EMHSIN}(G1 + HR) + DE1) + A17 \cdot (\text{EMHSIN}(G2 + HR) + DE2) + A18 \cdot (\text{EMHSIN}(G3 + HR) + DE3) + A19 \cdot (\text{EMHSIN}(G4 + HR) + DE4) + A110 \cdot \text{ED}$$

$$S42 = A21 \cdot (Y1 + S31) + A22 \cdot (Y2 + S32) + A23 \cdot (Y3 + S33) + A24 \cdot (Y4 + S34) + A25 \cdot (Y5 + S35) + A26 \cdot (\text{EMHSIN}(G1 + HR) + DE1) + A27 \cdot (\text{EMHSIN}(G2 + HR) + DE2) + A28 \cdot (\text{EMHSIN}(G3 + HR) + DE3) + A29 \cdot (\text{EMHSIN}(G4 + HR) + DE4) + A210 \cdot \text{ED}$$

$$S43 = A31 \cdot (Y1 + S31) + A32 \cdot (Y2 + S32) + A33 \cdot (Y3 + S33) + A34 \cdot (Y4 + S34) + A35 \cdot (Y5 + S35) + A36 \cdot (\text{EMHSIN}(G1 + HR) + DE1) + A37 \cdot (\text{EMHSIN}(G2 + HR) + DE2) + A38 \cdot (\text{EMHSIN}(G3 + HR) + DE3) + A39 \cdot (\text{EMHSIN}(G4 + HR) + DE4) + A310 \cdot \text{ED}$$

$$S44 = A41 \cdot (Y1 + S31) + A42 \cdot (Y2 + S32) + A43 \cdot (Y3 + S33) + A44 \cdot (Y4 + S34) + A45 \cdot (Y5 + S35) + A46 \cdot (\text{EMHSIN}(G1 + HR) + DE1) + A47 \cdot (\text{EMHSIN}(G2 + HR) + DE2) + A48 \cdot (\text{EMHSIN}(G3 + HR) + DE3) + A49 \cdot (\text{EMHSIN}(G4 + HR) + DE4) + A410 \cdot \text{ED}$$

$$S45 = A51 \cdot (Y1 + S31) + A52 \cdot (Y2 + S32) + A53 \cdot (Y3 + S33) + A54 \cdot (Y4 + S34) + A55 \cdot (Y5 + S35) + A56 \cdot (\text{EMHSIN}(G1 + HR) + DE1) + A57 \cdot (\text{EMHSIN}(G2 + HR) + DE2) + A58 \cdot (\text{EMHSIN}(G3 + HR) + DE3) + A59 \cdot (\text{EMHSIN}(G4 + HR) + DE4) + A510 \cdot \text{ED}$$

C SOLUTION DU SYSTEME

$$Y1 = Y1 + (S11 + 2 \cdot S21 + 2 \cdot S31 + S41) / 6.$$

$$Y2 = Y2 + (S12 + 2 \cdot S22 + 2 \cdot S32 + S42) / 6.$$

$$Y3 = Y3 + (S13 + 2 \cdot S23 + 2 \cdot S33 + S43) / 6.$$

$$Y4 = Y4 + (S14 + 2 \cdot S24 + 2 \cdot S34 + S44) / 6.$$

$$Y5 = Y5 + (S15 + 2 \cdot S25 + 2 \cdot S35 + S45) / 6.$$

IF(Y1) 1,2,2

1 Y1=0.

2 IF(Y2) 3,4,4

3 Y3=0.

4 IF(Y3) 5,6,6

5 Y3=0.

6 IF(Y4) 7,8,8

7 Y4=0.

8 IF(Y5) 9,80,80

9 Y5=0.

```

80 DY1=(S11+2.*S21+2.*S31+S41)/(6.*H)
    DY2=(S12+2.*S22+2.*S32+S42)/(6.*H)
    DY3=(S13+2.*S23+2.*S33+S43)/(6.*H)
    DY4=(S14+2.*S24+2.*S34+S44)/(6.*H)
    DY5=(S15+2.*S25+2.*S35+S45)/(6.*H)
C   CALCUL DE DU1, DU2, DU3, DU4 , UD1, UD2
    DU1=SG*(-DY1-2.*Y2+2.*DY3-DY4-2.*DY5)+RG*(-Y1-2.*Y2+2.*Y3-Y4
    1/2-2.*Y5)
    DU2=SG*(-DY1+DY2+2.*DY3-DY4+DY5)+RG(-Y1+Y2+2.*Y3-Y4+Y5)
    DU3=SG*(-DY1-2.*DY2+DY4-DY5)+RG*(-Y1-2.*Y2+Y4-Y5)
    DU4=SG*(-DY1+DY2+3.*DY3-2.*DY4-DY5)+RC*(-Y1+Y2+3.*Y3-2.*Y4-Y5)
    UD1=EM*SIN(G1)+DU1+RT1*(Y3-Y1-2.*Y2)+ST1*(DY3-DY1-2.*DY2)
    UD2=EM*SIN(G3)+DU1+RT2*(Y3-Y4-2.*Y5)+ST2*(DY3-DY4-2.*DY5)
    T=T+H
    TR=TR+HR
    TEL=T*180./0.01
C   TEST DE FIN DE COMMUTATION
    IF(TR-3,1416/6.) 46;47,47
46 GOTO 64
47 A=1.
    JL=(N+1)/2
    IF(N-(2*JL)) 49,48,49
48 A=1.
    IF(Y4-Y3) 50,51,51
51 WRITE(3,500) TR,T,TEL
500 FORMAT(4X,'AMORCAGE 3 VALVE,PONT2','TR=',F6.3,2X,'T=',F8.5,2X,
    'TEL=',F7.1)
    IF(K2-1.) 52,53,52
52 ANGR=(TR-TANGR)*180./3,14
    WRITE(3,501) ANGR
501 FORMAT(4X,'ANGR=',F5.1)
    GOTO 53
50 A=1.
    IF(UD2) 54,55,55
54 WRITE(3,502) TR,T,TEL
502 FORMAT(4X,'AMORCAGE 4 VALVE,PONT2','TR=',F6.3,2X,'T=',F8.5,2X;
    'TEL=',F7.1)
    Y4=Y5
53 Y4=0.
    N=N+1
    TR=TR-3,1416/6.
    IN=(N-1)/12
    N=N-IN*12
    GOTO 64
55 A=1.
    IF(K2-1.) 64,56,64
56 TANGR=TR
    K2=5.
    GOTO 64
49 A=1.
    IF(Y1-Y3) 58,59,59
59 WRITE(3,503) TR,T,TEL
503 FORMAT(4X,'AMORCAGE 3 VALVE,PONT1','TR=',F6.3,2X,'T=',F8.5,2X,
    'TEL=',F7.1)
    IF(K1-1.) 60,61,60
60 WRITE(3,504) ANGR
    ANGR=(TR-TANGR)*180./3,14
    WRITE(3,504) ANGR
504 FORMAT(24X,'ANGR=',F5.1)

```

```

      GOTO 61
58   A=1.
      IF(UD1) 62,63,63
62   WRITE(3,505) TR,T,TEL
505  FORMAT(4X,'AMORCAGE 4 VALVE,PONT1','TR=',F6.3,2X,'T=',F8.5,
        12X,'TEL=',F7.1)
        Y2=Y1
61   Y1=0.
      N=N+1
      TR=TR-3,1416/6.
      IN=(N-1)/12
      N=N-IN#12
      GOTO 64
63   A=1.
      IF(K1-1.) 64,65,64
65   TANGR=TR
      K1=5.
      GOTO 64
64   IF(M-3) 66,67,67
66   M=M+1
      GOTO 800
67   M=1.
      WRITE(3,508) T,Y1,Y2,Y3,Y4,Y5,TEL
508  FORMAT(10X,F8.5,4X;F6.3,4X,F6.3,4X,F6.3,4X,F6.3,4X,F6.3,4X,F7.1)
      WRITE(3,509) DY1,DY2,DY3,DY4,DY5
509  FORMAT(10X,F10.4,2X,F10.4,2X,F10.4,2X,F10.4,2X,F10.4)
800  IF(T-TC1) 68,69,69
69   A=1.
      IF(K3-1.) 70,71,70
71   EM=105.
      ED=95.
      RD=1.
      WRITE(3,506) T,EM,ED,RD,TEL
506  FORMAT(2X,'CHANGEMENT DU REGIME 'T=',F8.5,2X,'EM=',F6.1,2X,
        1'ED=',F6.1,2X,'RD=',F4.1,2X,'TEL=',F7.1)
      K3=5.
70   A=1.
      IF(T-TC2) 68,73,73
73   A=1.
      IF(K4-1.) 68,74,68
74   EM=105.
      ED=150.
      RD=1.
      WRITE(3,507) T,EM,ED,RD,TEL
507  FORMAT(2X,'RETABLISSEMENT DU REGIME','T=',F8.5,2X,'EM=',F6.1,
        12X,'ED=',F6.1,2X,'RD=',F4.1,2X,'TEL=';F7.1)
      K4=5.
68   A=1.
      IF(T-TLIM) 75,76,76
76   STOP
      END
!LINK
!RUN

```

BIBLIOGRAPHIE

1- M . DEMONTVIGNER

Soupapes électriques redresseurs onduleurs .
fascicule 1,2,3 , Paris 1970 - 1971 .

2- A . POSSE

Les régimes de transport d'énergie à courant continu .
en russe . Moscou 1973 .

3- A. MOULFI et S. RILI

Modèle mathématique d'un système de transport d'énergie
en courant continu à haute tension .

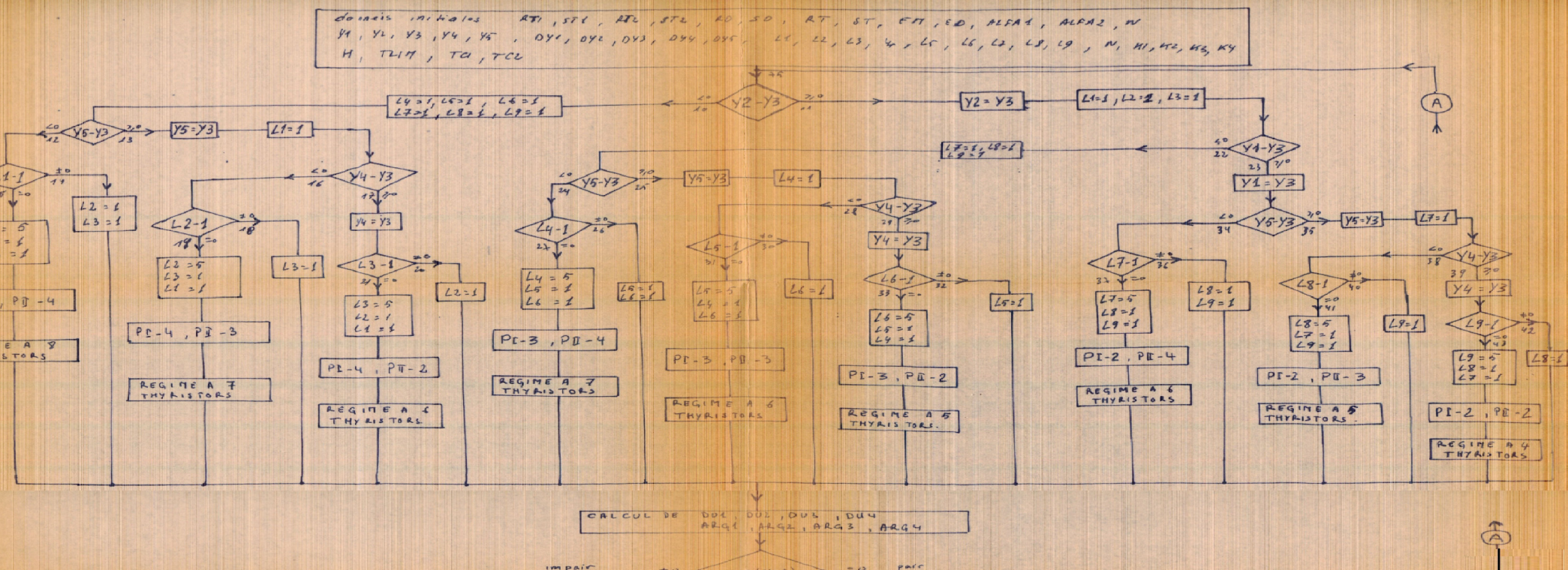
Thèse de fin d'études ENPA 1974 .

4- M. DREYFUS

Fortran IV Dunod, Paris .

ORGANIGRAMME

GENERAL



$DE1 = DUL, DE2 = DUL, DE3 = DUL, DE4 = DUL$
 $G1 = ARG1, G2 = ARG2, G3 = ARG3, G4 = ARG4$

$DE1 = DUL, DE2 = DUL, DE3 = DUL, DE4 = DUL$
 $G1 = ARG1, G2 = ARG2, G3 = ARG3, G4 = ARG4$

RESOLUTION DES EQUATIONS

$$T = T + H ; \quad TR = TR + HR$$

$$TR = TR - \frac{H}{6}$$

$$N = N - \frac{2(H+2)}{6}$$

$$IMPAIR \quad N = N - \frac{2(H+1)}{6}$$

$$PAIR \quad N = N - \frac{2(H+3)}{6}$$

$$Y4 - Y3$$

$$AMORCEAGE 35 \quad VALVE PII$$

$$AMGR = TR - TANGR$$

$$ANGR = TR - TR$$

$$Y4 = Y5$$

$$Y4 = 0$$

$$N = N + 2$$

$$TR = TR - \frac{H}{6}$$

$$N = N - \left(\frac{H+2}{6}\right) 12$$

$$64$$

$$Y1 - Y3$$

$$AMORCEAGE 35 \quad VALVE DE TR =$$

$$K2 - 1$$

$$TANGR = TR$$

$$K2 = 5$$

$$ANGR = TR - TANGR$$

$$Y2 = Y1$$

$$H1 = 5$$

$$Y1 = 0$$

$$N = N + 1$$

$$TR = TR - \frac{H}{6}$$

$$N = N - \left(\frac{H+1}{6}\right) 12$$

$$64$$

$$IMPAIR \quad N = N - \frac{2(H+1)}{6}$$

$$PAIR \quad N = N - \frac{2(H+3)}{6}$$

$$Y1 - Y3$$

$$AMORCEAGE 35 \quad VALVE DE TR =$$

$$K1 - 1$$

$$TANGR = TR$$

$$K1 = 5$$

$$ANGR = TR - TANGR$$

$$Y2 = Y1$$

$$H1 = 5$$

$$Y1 = 0$$

$$N = N + 1$$

$$TR = TR - \frac{H}{6}$$

$$N = N - \left(\frac{H+1}{6}\right) 12$$

$$64$$

$$M = M - 5$$

$$M = M + 5$$

$$IMPAIR \quad M = M - 5$$

$$PAIR \quad M = M + 5$$

$$Y1 - Y3$$

$$AMORCEAGE 35 \quad VALVE DE TR =$$

$$K3 - 1$$

$$TANGR = TR$$

$$K3 = 5$$

$$ANGR = TR - TANGR$$

$$Y2 = Y1$$

$$H1 = 5$$

$$Y1 = 0$$

$$N = N + 1$$

$$TR = TR - \frac{H}{6}$$

$$N = N - \left(\frac{H+1}{6}\right) 12$$

$$64$$

$$changement de regime$$

$$T - TCB$$

$$K4 - 1$$

$$K4 = 5$$

$$retablissement du regime$$

$$T - TLIM$$

$$ENED$$